

МИНИСТЕРСТВО ОБРАЗОВАНИЯ И НАУКИ РОССИЙСКОЙ ФЕДЕРАЦИИ

**Нижегородский государственный университет им. Н.И. Лобачевского
Национальный исследовательский университет**

**В.Л. Котов
Е.Ю. Линник
А.А. Тарасова**

**РЕШЕНИЕ ОДНОМЕРНОЙ ЗАДАЧИ О РАСШИРЕНИИ
СФЕРИЧЕСКОЙ ПОЛОСТИ**

Учебно-методическое пособие

Рекомендовано методической комиссией механико-математического факультета для студентов ННГУ, обучающихся по направлениям подготовки 010400 «Прикладная математика и информатика», 010800 «Механика и математическое моделирование»

Нижний Новгород
2014

УДК 539.3
ББК 22.2
К73

К73 Котов В.Л., Линник Е.Ю., Тарасова А.А. РЕШЕНИЕ
ОДНОМЕРНОЙ ЗАДАЧИ О РАСШИРЕНИИ СФЕРИЧЕСКОЙ ПОЛОСТИ:
Учебно-методическое пособие. – Нижний Новгород: Нижегородский
госуниверситет, 2014. – 46 с.

Рецензент: д.ф.-м.н., проф. **И.А. Волков**

В учебно-методическом пособии рассматриваются аналитические и численные решения задач о расширении сферической полости в упругопластических средах для различных моделей сред. Подробно показан процесс приведения системы уравнений в частных производных к системе обыкновенных дифференциальных уравнений с помощью автомодельных преобразований, в ряде случаев получены аналитические решения. В приложении приведены алгоритмы численного решения начально-краевых задач методами стрельбы и Рунге-Кутты.

Предназначено для студентов, обучающихся по направлению подготовки 010400 «Прикладная математика и информатика», 010800 «Механика и математическое моделирование».

Ответственный за выпуск:
председатель метод. комиссии механико-математического факультета ННГУ,
к.ф.-м.н., доцент **Н.А. Денисова**

УДК 539.3
ББК 22.2

© Нижегородский государственный
университет им. Н.И. Лобачевского, 2014

Содержание

| | |
|---|----|
| Введение | 4 |
| 1. Математическая модель идеально-пластической несжимаемой среды | 5 |
| 2. Модель несжимаемой среды с условием пластичности Мизеса-Шлейхера..... | 8 |
| 3. Модель линейно сжимаемой среды с использованием условия несжимаемости для определения инерционных членов | 10 |
| 4. Математическая модель линейно-сжимаемой упругопластической среды Мизеса-Шлейхера | 16 |
| 5. Математическая модель нелинейно-сжимаемой среды с линейной ударной адиабатой..... | 19 |
| 6. Математическая модель нелинейно-сжимаемой среды Григоряна | 24 |
| 7. Аналитическое решение в предположении несжимаемости среды за фронтом ударной волны | 28 |
| 8. Примеры численной реализации | 35 |
| Приложение 1. Метод стрельбы | 41 |
| Приложение 2. Метод Рунге-Кутты четвертого порядка точности | 42 |
| Литература | 45 |

Введение

Математическое моделирование как способ исследования и эффективного решения актуальных задач механики сформировалось в 70-х годах прошлого века одновременно с появлением мощных вычислительных средств. В настоящее время активное использование численных методов и комплексов программ позволяет резко сократить сроки научных и опытно-конструкторских разработок, а в тех случаях, когда натурный эксперимент трудно осуществить, математическое моделирование дает практически единственный инструмент исследования. Появилось новое понятие – вычислительный эксперимент, где постановка задачи, метод ее решения и реализация алгоритма рассматриваются в едином комплексе. В процессе вычислительного эксперимента происходит уточнение исходной физической модели, которая, как правило, базируется на упрощенных представлениях о характере протекающих физико-механических процессов.

Так, в нелинейных задачах удара и проникания тел в деформируемые среды в настоящее время применяется предложенная еще И. Ньютоном теория локального взаимодействия. Идеализированная модель течения Ньютона замечательна по своей простоте, так как местный коэффициент давления зависит только от ориентации элемента тела и не зависит от формы тела, расположенного перед этим элементом.

В соответствии с одной из реализаций модели локального взаимодействия, давление в каждой точке боковой поверхности ударника отождествляется с давлением на внутренней поверхности сферической или цилиндрической полости, расширяющейся в безграничной среде от нулевого радиуса до радиуса ударника («Cavity Expansion Model» в зарубежной литературе). Таким образом, решения представленных задач о расширении сферической полости, имея самостоятельное значение, в то же время применяются для оценки параметров моделей локального взаимодействия.

В учебно-методическом пособии приводятся постановки и решения одномерных задач о расширении с постоянной скоростью сферической полости из точки в безграничной среде. Рассмотрены различные модели упругопластических сред, подробно показан процесс приведения систем уравнений в частных производных к системе обыкновенных дифференциальных уравнений (ОДУ) с помощью автомодельных преобразований. Приведены алгоритмы численного решения краевых задач для системы ОДУ первого порядка, в ряде случаев получены аналитические решения.

1. Математическая модель идеально-пластической несжимаемой среды [4]

Математическая модель среды описывается системой дифференциальных уравнений, выражающих законы неразрывности и изменения количества движения в Эйлеровых переменных, которая с учетом сферической симметрии записывается следующим образом:

$$\begin{aligned} \rho \left(\frac{\partial v}{\partial r} + 2 \frac{v}{r} \right) &= - \left(\frac{\partial \rho}{\partial t} + v \frac{\partial \rho}{\partial r} \right) \\ \frac{\partial \sigma}{\partial r} + 2 \frac{(\sigma - \sigma_\theta)}{r} &= \rho \left(\frac{\partial v}{\partial t} + v \frac{\partial v}{\partial r} \right) \end{aligned} \quad (1.1)$$

где ρ - плотность в деформированном состоянии, v - скорость, σ и σ_θ - радиальная и окружная компоненты тензора напряжений Коши, r - радиальная координата.

Система дифференциальных уравнений в частных производных (1.1) замыкается конечными соотношениями:

закон Гука в упругой области

$$\tau_{\max} = G\Gamma,$$

условие пластичности Треска в пластической области

$$\sigma_\theta - \sigma = \sigma_T,$$

где $\tau_{\max} = \frac{\sigma_\theta - \sigma}{2}$ - максимальное касательное напряжение, $\Gamma = \varepsilon_\theta - \varepsilon$ - главный сдвиг, G - упругий модуль сдвига.

Объемные деформации отсутствуют как в пластической, так и в упругой области деформирования.

Построим решение одномерной задачи о расширении сферической полости в пластической области, полагая среду:

а) несжимаемой: $\rho = \rho_0 = \text{const}$;

б) идеально пластической: $\sigma_T \equiv \tau_0$.

В области пластического деформирования система дифференциальных уравнений в частных производных (1.1) относительно v и σ запишется следующим образом:

$$\begin{aligned} \frac{\partial v}{\partial r} + 2 \frac{v}{r} &= 0 \\ \frac{\partial \sigma}{\partial r} + 2 \frac{\sigma_0}{r} &= \rho_0 \left(\frac{\partial v}{\partial t} + v \frac{\partial v}{\partial r} \right) \end{aligned} \quad (1.2)$$

на границе расширяющейся полости радиуса $R_0 = V_0 t$ задается скорость V_0 , внешняя поверхность сферического слоя b свободна от напряжений:

$$v|_{r=R_0} = V_0, \quad \sigma|_{r=b} = 0, \quad (1.3)$$

на границе раздела упругой и пластической областей при $r=R_c$ (квадратными скобками обозначена разность соответствующих величин «слева» и «справа» от разрыва) выполняется условие непрерывности скоростей и напряжений:

$$[v] = [\sigma] = [\sigma_\theta] = 0$$

в начальный момент времени:

$$R_0|_{t=0} = 0$$

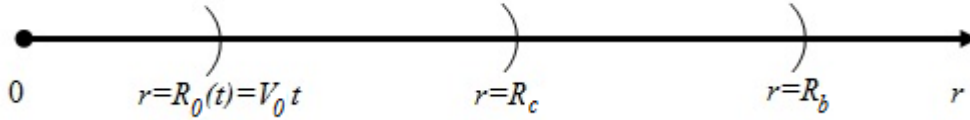


Рис. 1.1. Постановка задачи о расширении сферической полости в идеально-пластической несжимаемой среде

Решение первого уравнение системы (1.2) во всей области записывается следующим образом:

$$\frac{dv}{v} = -2 \frac{dr}{r} \rightarrow v = \frac{c_1}{r^2}$$

Постоянная c_1 определяется из краевого условия (1.3) $v|_{r=R_0} = V_0$, и решение первого уравнения задачи (1.2) имеет вид:

$$v = \frac{R_0^2 \dot{R}_0}{r^2} = \frac{\lambda(t)}{r^2} \quad (1.4)$$

где \dot{R}_0 - скорость на границе расширяющейся полости.

С учетом выражения (1.4), производные по переменным r и t определяются следующим образом:

$$\frac{\partial v}{\partial r} = -2 \frac{\lambda(t)}{r^3}, \quad \frac{\partial v}{\partial t} = \frac{1}{r^2} \frac{\partial \lambda(t)}{\partial t} = \frac{1}{r^2} \dot{\lambda}(t) \quad (1.5)$$

В результате подстановки полученного решения (1.4) во второе уравнение системы (1.2) и интегрирования с учетом (1.5), получаем:

$$\sigma^p = 2\tau_0 \ln r + \rho_0 \left(-\frac{\dot{\lambda}(t)}{r} + \frac{1}{2} \frac{\lambda^2(t)}{r^4} \right) + c_2 \quad (1.6)$$

При расширении сферической полости выполняется закон сохранения массы: $m = const$, из которого с учетом несжимаемости среды $\rho = \rho_0 = const$ следует сохранение объемов: $r^3 = (r+w)^3 - R_0^3$.

Полагая перемещения малыми, имеем:

$$(r+w)^3 = r^3 \left(1 + \frac{w}{r} \right)^3 \approx r^3 \left(1 + 3 \frac{w}{r} \right), \quad w \ll r$$

Таким образом, перемещение w для упругой зоны определяется следующим образом:

$$w^e = \frac{1}{3} \frac{R_0^3}{r^2} \quad (1.7)$$

При учете сферической симметрии и выражения (1.7) компоненты тензора деформаций имеют вид:

$$\begin{aligned}\varepsilon^e &= \frac{\partial w^e}{\partial r} = -\frac{2}{3} \frac{R_0^3}{r^3}, \\ \varepsilon_\theta^e &= \frac{w^e}{r} = \frac{1}{3} \frac{R_0^3}{r^3}.\end{aligned}\quad (1.8)$$

При условии (1.8) касательное напряжение определяется выражением:

$$\frac{\sigma_\theta^e - \sigma^e}{2} = G(\varepsilon_\theta^e - \varepsilon^e) = G \frac{R_0^3}{r^3} \quad (1.9)$$

На границе раздела упругой и пластической областей (при $r=R_c$) радиус R_c имеет следующую зависимость от размера полости R_0 в виде:

$$R_c^3 = R_0^3 \frac{2G}{\tau_0} = R_0^3 \frac{2E}{3\tau_0}$$

где E – модуль Юнга.

С учетом выражения для касательных напряжений (1.9) и интеграла (1.4) второе уравнение системы (1.1) в упругой области имеет вид:

$$\frac{\partial \sigma}{\partial r} - 2 \frac{GR_0^3}{r^4} = \rho_0 \left(\frac{\dot{\lambda}(t)}{r^2} - 2 \frac{\lambda^2(t)}{r^5} \right)$$

Напряжение σ^e с учетом граничного условия (1.3) $\sigma|_{r=b} = 0$ принимает вид:

$$\sigma^e = \frac{4}{3} GR_0^3 \left(\frac{1}{b^3} - \frac{1}{r^3} \right) + \rho_0 \left(\dot{\lambda} \left(\frac{1}{b} - \frac{1}{r} \right) + \frac{\lambda^2}{2} \left(\frac{1}{r^4} - \frac{1}{b^4} \right) \right), \quad (1.10)$$

где внешний радиус шара b определяется из условия несжимаемости $b^3 = b_0^3 + R_0^3$ (b_0 – начальный размер шара).

Условие непрерывности при $r=R_c$ позволяет найти неизвестную c_2 в задаче (1.6):

$$\begin{aligned}\sigma^p|_{r=R_c} &= \sigma^e|_{r=R_c} \\ \sigma = -\sigma^p|_{r=R_0} &= \frac{2}{3} \tau_0 \left(\ln \left(\frac{R_c}{R_0} \right)^3 + \left(\frac{R_0}{R_c} \right)^3 \right) - \frac{2}{3} \tau_0 \left(\frac{R_0}{b} \right)^3 + \\ &+ \rho_0 \left(\dot{\lambda}(t) \left(\frac{1}{R_0} - \frac{1}{b} \right) - \frac{\lambda^2(t)}{2} \left(\frac{1}{R_0^4} - \frac{1}{b^4} \right) \right)\end{aligned}\quad (1.11)$$

Формула (1.11) справедлива для любых значений b . Если размер пластической зоны R_c превышает b , то в (1.11) следует положить $R_c=b$, что соответствует отсутствию зоны упругих деформаций.

В случае безграничной среды ($b \rightarrow \infty$) при $\lambda(t) = R_0^2 \dot{R}_0$ формула (1.11) упрощается:

$$\sigma = \frac{2}{3} \tau_0 \left(1 + \ln \frac{2G}{\tau_0} \right) + \rho_0 \left(\frac{3}{2} \dot{R}_0^2 + \ddot{R}_0 R_0 \right)$$

Первая группа слагаемых определяет влияние прочности на сопротивление прониканию и представляют собой статическую составляющую силы сопротивления. Вторая группа слагаемых обусловлена динамикой процесса.

При расширении полости с постоянной скоростью V_0 , напряжение σ на ее границе определится простым выражением:

$$\sigma = \sigma_\tau + \frac{3}{2} \rho_0 V_0^2$$

2. Модель несжимаемой среды с условием пластичности Мизеса-Шлейхера [12]

Математическая модель среды описывается системой дифференциальных уравнений, выражающих уравнения неразрывности и изменения количества движения в Эйлеровых переменных, которая с учетом сферической симметрии записывается следующим образом:

$$\rho_0 \frac{\partial}{\partial r} [(r-u)^3] = 3\rho r^2 \quad (2.1)$$

$$\frac{\partial \sigma}{\partial r} + 2 \frac{(\sigma - \sigma_\theta)}{r} = -\rho \left(\frac{\partial v}{\partial t} + v \frac{\partial v}{\partial r} \right)$$

где ρ_0 и ρ - плотность в начальном и деформированном состоянии, v - скорость, σ и σ_θ - радиальная и окружная компоненты тензора напряжений Коши (принимаются положительными при сжатии), r - радиальная координата.

Смещение частиц u и скорость v связаны выражением

$$\frac{\partial u}{\partial t} = v \left(1 - \frac{\partial u}{\partial r} \right) \quad (2.2)$$

Предполагаем, что среда несжимаема и $\rho = \rho_0$. Тогда смещение частиц получим интегрированием

$$u = r \left[1 - \left(1 - \frac{R_0^3}{r^3} \right)^{\frac{1}{3}} \right] \quad (2.3)$$

Скорость частиц можно получить дифференцированием (2.3) и подстановкой в (2.2)

$$v = \frac{R_0^2 \dot{R}_0}{r^2} \quad (2.4)$$

Материал в пластической области описывается условием текучести Мора-Кулона. Таким образом

$$\begin{aligned} p &= (\sigma + 2\sigma_\theta)/3, \\ \sigma - \sigma_\theta &= \tau_0 + kp \end{aligned} \quad (2.5)$$

где p – это давление, τ_0 и k – константы, характеризующие сопротивление грунта сдвигу. Подставим выражения (2.4) и (2.5) в уравнение количества движения и, проинтегрировав в пластической области $R_0 \leq r \leq R_c$, получим выражение для радиальной компоненты напряжения

$$\sigma(r) = \left[\frac{2\rho R_0^4 \dot{R}_0^2}{ak-4} \left(\frac{1}{r}\right)^4 - \frac{\rho(\ddot{R}_0 R_0^2 + 2R_0 \dot{R}_0^2)}{ak-1} \left(\frac{1}{r}\right) - \frac{\tau_0}{k} + \lambda r^{-ak} \right] \quad (2.6)$$

где $a = 6/(3+2k)$, λ – постоянная интегрирования, которая будет определена в упругой области.

Определим радиальное напряжение в упругой области $R_c \leq r \leq b$.

$$\begin{aligned} \sigma(b) &= \sigma(b) + \frac{4ER_0^3}{9} \left(\frac{1}{R_c^3} - \frac{1}{b^3} \right) + \\ &+ \rho \left[(\ddot{R}_0 R_0^2 + 2R_0 \dot{R}_0^2) \left(\frac{1}{R_c} - \frac{1}{b} \right) - \frac{R_0^4 \dot{R}_0^2}{2} \left(\frac{1}{R_c^4} - \frac{1}{b^4} \right) \right] \end{aligned} \quad (2.7)$$

где E – модуль Юнга и $\sigma(d) = 0$ при $b \rightarrow \infty$. Для определения λ приравняем (2.6) и (2.7) на границе раздела упругой и пластической областей. Для несжимаемой упругой среды давление не определено. Пренебрегая сжимаемостью, мы считаем давление равным 0 в упругой области. При таком предположении используем модель Мора-Кулона: $p = 0$, $\sigma - \sigma_\theta = \tau_0$. Это дает нижнюю оценку радиального напряжения на упруго-пластической границе. Предположение о несжимаемости в пластической области дает оценку сверху для радиального напряжения.

Радиальное напряжение на границе полости, полагая $\ddot{R}_0 \approx 0$, будет иметь вид:

$$\begin{aligned} \sigma(R_0) &= \left\{ 2\rho \dot{R}_0^2 \left[\frac{1}{ak-4} - \frac{1}{ak-1} \right] - \frac{\tau_0}{k} + \left(\frac{2E}{3\tau_0} \right)^{\frac{ak}{3}} \left[\frac{2\tau_0}{3} \left(1 - \left(\frac{R_c}{b} \right)^3 \right) + \right. \right. \\ &+ \left. \left. 2\rho \dot{R}_0^2 \left(\frac{ak}{ak-1} \left(\frac{3\tau_0}{2E} \right)^{\frac{1}{3}} - \frac{1}{4} \frac{ak}{ak-4} \left(\frac{3\tau_0}{2E} \right)^{\frac{4}{3}} - \left(\frac{R_0}{b} \right) + \frac{1}{4} \left(\frac{R_0}{b} \right)^4 \right) + \frac{\tau_0}{k} \right] \right\} \end{aligned} \quad (2.8)$$

Формула действует, пока фронт упруго-пластической волны не достигнет свободной поверхности (т.е. $b \geq R_c$).

При $R_c \geq b$ напряжение на границе полости описывается следующим выражением:

$$\sigma(R_0) = \left\{ 2\rho\dot{R}_0^2 \left[\frac{1}{ak-4} - \frac{1}{ak-1} \right] - \frac{\tau_0}{k} + \left(\frac{R_c}{R_0} \right)^{ak} \left[2\rho\dot{R}_0^2 \left(\frac{ak}{ak-1} \left(\frac{3\tau_0}{2E} \right)^{\frac{1}{3}} - \frac{1}{4} \frac{ak}{ak-4} \left(\frac{3\tau_0}{2E} \right)^{\frac{4}{3}} - \left(\frac{R_0}{b} \right) + \frac{1}{4} \left(\frac{R_0}{b} \right)^4 \right) + \frac{\tau_0}{k} \right] \right\} \quad (2.9)$$

или

$$\sigma(R_0) = 2\rho\dot{R}_0^2 \left[\frac{1}{ak-4} - \frac{1}{ak-1} + \left(\frac{R_c}{R_0} \right)^{ak} \left(\frac{ak}{ak-1} \left(\frac{3\tau_0}{2E} \right)^{\frac{1}{3}} - \frac{1}{4} \frac{ak}{ak-4} \left(\frac{3\tau_0}{2E} \right)^{\frac{4}{3}} - \left(\frac{R_0}{b} \right) + \frac{1}{4} \left(\frac{R_0}{b} \right)^4 \right) \right] - \frac{\tau_0}{k} \left(1 - \left(\frac{R_c}{R_0} \right)^{ak} \right) \quad (2.10)$$

Принимая во внимание, что на границе раздела упругой и пластической областей (при $r=R_c$) радиус R_c имеет следующую зависимость от размера полости R_0 :

$$\frac{R_c}{R_0} = \left(\frac{2E}{3\tau_0} \right)^{\frac{1}{3}},$$

в случае безграничной среды ($b \rightarrow \infty$), обозначив $\dot{a} = V_0$, $\rho = \rho_0$, из (2.8) имеем:

$$\sigma(R_0) = 2\rho_0 V_0^2 \left[\frac{1}{ak-4} - \frac{1}{ak-1} + \left(\frac{3\tau_0}{2E} \right)^{-\frac{ak}{3}} \left(\frac{ak}{ak-1} \left(\frac{3\tau_0}{2E} \right)^{\frac{1}{3}} - \frac{1}{4} \frac{ak}{ak-4} \left(\frac{3\tau_0}{2E} \right)^{\frac{4}{3}} \right) \right] - \frac{\tau_0}{k} \left(1 - \left(\frac{3\tau_0}{2E} \right)^{-\frac{ak}{3}} \right) - \frac{2\tau_0}{3} \left(\frac{3\tau_0}{2E} \right)^{-\frac{ak}{3}} \quad (2.11)$$

При $k=0$ ($a=2$) из (2.11) следует:

$$\sigma = -\frac{2}{3} \tau_0 \left(1 + \ln \frac{2E}{3\tau_0} \right) + \frac{3}{2} \rho_0 V_0^2,$$

что совпадает с выражением, полученным в п. 1.

3. Модель линейно сжимаемой среды с использованием условия несжимаемости для определения инерционных членов [1]

Математическая модель среды описывается системой дифференциальных уравнений, выражающих законы неразрывности и изменения количества движения, которая с учетом сферической симметрии записывается следующим образом:

$$x^2 \frac{\partial x}{\partial r} = \frac{\rho_0}{\rho} r^2, \quad x \frac{\partial \sigma}{\partial r} + 2(\sigma - \sigma_\theta) \frac{\partial x}{\partial r} = 0 \quad (3.1)$$

где r и x – лагранжевая и эйлерова координаты, ρ_0 и ρ – начальная и текущая плотности, σ и σ_θ – радиальная и окружная компоненты тензора напряжения Коши.

Уравнение состояния $p=p(\rho)$ запишем в виде

$$p = -K \left(\frac{\rho}{\rho_0} - 1 \right), \quad \frac{\rho_0}{\rho} = \frac{K}{K - p}.$$

Условие пластичности принимаем в форме, учитывающей действие нормальных напряжений

$$\sigma - \sigma_\theta = -\tau_0 + k p,$$

где τ_0 – предел текучести при одноосном сжатии для $p = 0$.

В условиях центрально-осевой симметрии $\sigma = p + S_r$, $\sigma_\theta = S_\theta + p$, поэтому из предыдущего условия с учетом $S_r + 2S_\theta = 0$, следует

$$\sigma = \frac{p(3 + 2k) - 2\tau_0}{3}, \quad \sigma_\theta = \frac{p(3 - k) + \tau_0}{3}.$$

С помощью этих формул приведем наше уравнение движения (3.1) к виду

$$x \frac{\partial p}{\partial r} + \frac{6kp}{3 + 2k} \frac{\partial x}{\partial r} - \frac{6\tau_0}{3 + 2k} \frac{\partial x}{\partial r} = \frac{3}{3 + 2k} \rho_0 \frac{r^2}{x} \frac{\partial^2 u}{\partial t^2} \quad (3.2)$$

Домножим обе части равенства (3.2) на $x^{2\nu-1}$ и проинтегрируем по r от R_0 до r с условиями $x(R_0) = R$, $p(R_0) = -p_0$. Обозначив $\nu = \frac{3k}{3 + 2k}$, получим:

$$\frac{\partial}{\partial r} (x^{2\nu} p) - \frac{\partial}{\partial r} (x^{2\nu}) \frac{\tau_0}{k} = \frac{\nu}{k} \rho_0 x^{2\nu-2} r^2 \frac{\partial^2 u}{\partial t^2},$$

$$p = - \left(\frac{R}{x} \right)^{2\nu} \left(\frac{\tau_0}{k} + p_0 \right) + \frac{\tau_0}{k} + \frac{\nu}{k} \rho_0 x^{-2\nu} \int_{R_0}^r r^2 x^{2\nu-2} \frac{\partial^2 u}{\partial t^2}.$$

Для вычисления интеграла $I(r)$ воспользуемся предположением о несжимаемости $\rho = \rho_0$. Это условие принято только для оценки сил инерции

$$\rho_0 \frac{r^2}{x} \frac{\partial^2 u}{\partial t^2}.$$

Итак, $\frac{\partial x}{\partial r} \cong \left(\frac{r}{x} \right)^2$, откуда следует $x^3 = r^3 + R^3 - R_0^3$.

Так как эйлерова и лагранжевая переменные связаны через соотношение

$$x = r + u, \quad \text{то } \ddot{x} = \ddot{u} \cong \frac{\partial^2 u}{\partial t^2}.$$

Дифференцируя $x^3 = r^3 + R^3 - R_0^3$ два раза, получим

$$\ddot{x} = x^{-2} \left(2R\dot{R}^2 \left(1 - \frac{R^3}{x^3} \right) + R^2 \ddot{R} \right).$$

С учетом этого выражения преобразуем интеграл, переходя к интегрированию по x :

$$I(x) = \int_R^x x^{2\nu-2} \left(2R\dot{R}^2 \left(1 - \frac{R^3}{x^3} \right) + R^2 \ddot{R} \right) dx.$$

Примем для упругой внешней области $x > x_*$:

$$u = \frac{C}{r^2}, \quad \sigma = -\frac{4CG}{r^3}, \quad \sigma_\theta = \frac{2CG}{r^3},$$

где C – постоянная, G – модуль сдвига.

Потребуем непрерывности перемещения и напряжений на границе упругой и пластической областей, получим выражение для C , p_0 и x_* :

$$p(x_*, r_*) = p_e = \frac{\tau_0}{k} - \left(\frac{R}{x_*} \right)^{2\nu} \left(\frac{\tau_0}{k} + p_0 \right) + \frac{\nu}{k} \rho_0 x_*^{-2\nu} I(x_*),$$

$$p_0 = \frac{\tau_0}{k} \left(\frac{x_*}{R} \right)^{2\nu} - \frac{\tau_0}{k} + \frac{\nu}{k} \rho_0 R^{-2\nu} I(x_*) - \left(\frac{x_*}{R} \right)^{2\nu} p_e,$$

$$C = \frac{\tau_0}{6G} r_*^3,$$

$$x_* = r_* \left(1 + \frac{\tau_0}{6G} \right).$$

Значение давления на границе упругой и пластической сред p_e определим из условия $\sigma_r = \frac{2}{3} \tau_0 + \frac{2(1+\nu)}{3(1-\nu)} \Omega \bar{R} \frac{1}{1 + \sqrt{\frac{1-2\nu}{1-\nu}} \Omega \bar{R}}$.

$$p = \frac{3\sigma_r + 2\tau_0}{3 + 2k},$$

$$p_e = \frac{3}{3 + 2k} \left[\frac{2}{3} \tau_0 + \frac{2(1+\nu)}{3(1-\nu)} \Omega \bar{R} \frac{1}{1 + \sqrt{\frac{1-2\nu}{1-\nu}} \Omega \bar{R}} \right] + \frac{2\tau_0}{3 + 2k} =$$

$$= \frac{2\tau_0}{3 + 2k} \left(2 + \frac{1+\nu}{1-\nu} \Omega \bar{R} \frac{1}{1 + \sqrt{\frac{1-2\nu}{1-\nu}} \Omega \bar{R}} \right).$$

Теперь с помощью $\sigma_r = \frac{p(3+2k) - 2\tau_0}{3}$ можно найти сопротивление $\sigma(R)$ материала расширению сферической полости, представляющее собой напряжение на границе полости с обратным знаком:

$$\begin{aligned}\sigma_0 &= -\sigma(R) = \frac{2\tau_0 - p_0(3+2k)}{3} = \\ &= \frac{2}{3}\tau_0 + \frac{3+2k}{3k}\tau_0 \left(1 - \left(\frac{x_*}{R}\right)^{2\nu}\right) - \rho_0 \frac{1}{R^{2\nu}} I(x_*) + \frac{3+2k}{3k} \left(\frac{x_*}{R}\right)^{2\nu} p_e.\end{aligned}$$

Интеграл $I(x^*)$ берется в конечном виде:

$$\begin{aligned}I(r) &= \int_{R_0}^r x^{2\nu-2} r^2 \frac{\partial^2 u}{\partial t^2} dr = \int_{R_0}^r x^{2\nu-2} r^2 \frac{1}{x^2} (2\dot{R}^2 R (1 - \frac{R^3}{x^3}) + \ddot{R} R^2) dr = \\ &= \int_R^x x^{2\nu-2} (2\dot{R}^2 R (1 - \frac{R^3}{x^3}) + \ddot{R} R^2) dx = \\ &= \dot{R}^2 R^{2\nu} \left[\left(\frac{2}{2\nu-1} + \frac{R\ddot{R}}{\dot{R}^2(2\nu-1)} \right) \left(\left(\frac{x}{R} \right)^{2\nu-1} - 1 \right) - \frac{1}{\nu-2} \left(\left(\frac{x}{R} \right)^{2\nu-4} - 1 \right) \right] \\ I(x_*) &= \dot{R}^2 R^{2\nu} \left[\left(\frac{2}{2\nu-1} + \frac{R\ddot{R}}{\dot{R}^2(2\nu-1)} \right) \left(\left(\frac{x_*}{R} \right)^{2\nu-1} - 1 \right) - \frac{1}{\nu-2} \left(\left(\frac{x_*}{R} \right)^{2\nu-4} - 1 \right) \right]\end{aligned}$$

Подставим в выражение для $p(x)$:

$$\begin{aligned}p(x) &= \frac{\tau_0}{k} \left(1 - \left(\frac{x_*}{x}\right)^{2\nu}\right) + \left(\frac{x_*}{x}\right)^{2\nu} p_e + \frac{\nu}{k} \rho_0 x^{-2\nu} (I(x) - I(x_*)) \\ I(x) - I(x_*) &= \dot{R}^2 R^{2\nu} \left[\left(\frac{x}{R} \right)^{2\nu-1} \left(\frac{2}{2\nu-1} + \frac{R\ddot{R}}{\dot{R}^2(2\nu-1)} \right) \left(1 - \left(\frac{x_*}{x} \right)^{2\nu-1} \right) - \right. \\ &\quad \left. - \frac{1}{\nu-2} \left(\frac{x}{R} \right)^{2\nu-4} \left(1 - \left(\frac{x_*}{x} \right)^{2\nu-4} \right) \right]\end{aligned}$$

$$\begin{aligned}
p &= -\left(\frac{R}{x}\right)^{2v} \left(\frac{\tau_0}{k} + p_0\right) + \frac{\tau_0}{k} + \frac{v}{k} \rho_0 x^{-2v} \int_{R_0}^r r^2 x^{2v-2} \frac{\partial^2 u}{\partial t^2} = \\
&= \frac{\tau_0}{k} \left(1 - \left(\frac{R}{x}\right)^{2v}\right) - \left(\frac{R}{x}\right)^{2v} p_0 + \frac{v}{k} \rho_0 x^{-2v} I(x) = \\
&= \frac{\tau_0}{k} \left(1 - \left(\frac{R}{x}\right)^{2v}\right) - \left(\frac{R}{x}\right)^{2v} \left\{ \frac{\tau_0}{k} \left(\frac{x_*}{R}\right)^{2v} - \frac{\tau_0}{k} + \frac{v}{k} \rho_0 R^{-2v} I(x_*) - \left(\frac{x_*}{R}\right)^{2v} p_e \right\} + \\
&\quad + \frac{v}{k} \rho_0 x^{-2v} I(x) = \frac{\tau_0}{k} \left(1 - \left(\frac{R}{x}\right)^{2v}\right) - \\
&\quad - \left\{ \frac{\tau_0}{k} \left(\frac{x_*}{x}\right)^{2v} - \frac{\tau_0}{k} \left(\frac{R}{x}\right)^{2v} + \frac{v}{k} \rho_0 x^{-2v} I(x_*) - \left(\frac{x_*}{x}\right)^{2v} p_e \right\} + \\
&\quad + \frac{v}{k} \rho_0 x^{-2v} I(x) = \frac{\tau_0}{k} \left(1 - \left(\frac{x_*}{x}\right)^{2v}\right) - \left\{ \frac{v}{k} \rho_0 x^{-2v} I(x_*) - \left(\frac{x_*}{x}\right)^{2v} p_e \right\} + \\
&\quad + \frac{v}{k} \rho_0 x^{-2v} I(x) = \left(\frac{x_*}{x}\right)^{2v} p_e + \frac{\tau_0}{k} \left(1 - \left(\frac{x_*}{x}\right)^{2v}\right) + \\
&\quad + \frac{v}{k} \rho_0 \dot{R}^2 \left[\frac{R}{x} \left(\frac{2}{2v-1} + \frac{R\ddot{R}}{\dot{R}^2(2v-1)} \right) \left(1 - \left(\frac{x_*}{x}\right)^{2v-1}\right) - \frac{1}{v-2} \left(\frac{R}{x}\right)^4 \left(1 - \left(\frac{x_*}{x}\right)^{2v-4}\right) \right]
\end{aligned}$$

Перейдем к безразмерным координатам:

$$\xi = \frac{x}{x_*}, \quad \bar{R}_0 = \frac{R_0}{x_*}, \quad \bar{R} = \frac{R}{x_*},$$

$$\lambda = \frac{R_0}{R}, \quad \bar{r}_* = \frac{r_*}{x_*}, \quad \bar{p} = \frac{p}{\tau_0},$$

$$\bar{K} = \frac{K}{\tau_0}, \quad \bar{G} = \frac{G}{\tau_0}, \quad \Omega = \frac{\rho_0 \dot{R}^2}{\tau_0}, \quad \psi = \frac{R\ddot{R}}{\dot{R}^2}.$$

$$\bar{p}(\xi) = \xi^{-2v} \frac{p_e}{\tau_0} + \frac{1}{k} \left(1 - \xi^{-2v}\right) + \frac{v}{k} \Omega \times$$

$$\times \left[\frac{2 + \psi \left(\frac{\bar{R}}{\xi}\right) \left(1 - \xi^{-2v+1}\right) - \frac{1}{v-2} \left(\frac{\bar{R}}{\xi}\right)^4 \left(1 - \xi^{-2v+4}\right) \right]$$

Для определения неизвестной границы x^* или \bar{R} используем уравнение неразрывности $x^2 \frac{\partial x}{\partial r} = \frac{\rho_0}{\rho} r^2$, перепишем его с учетом p :

$$\frac{\partial x}{\partial r} = \frac{K}{K-p} \left(\frac{r}{x} \right)^2, \quad \frac{K-p}{K} x^2 \partial x = r^2 \partial r$$

$$\int_R^{x_*} \frac{K-p}{K} x^2 dx = \int_{R_0}^{r_*} r^2 dr, \quad \int_R^{x_*} \frac{K-p}{K} x^2 dx = \frac{1}{3} (r_*^3 - R_0^3).$$

С учетом перехода к безразмерным величинам

$$\int_{\bar{R}}^1 \frac{\bar{K}-\bar{p}}{\bar{K}} \xi^2 d\xi = \frac{1}{3} (\bar{r}_*^3 - \lambda^3 \bar{R}^3).$$

Обозначим $A = \frac{\nu}{\mu} \Omega \frac{2+\psi}{2\nu-1}$, $B = \frac{\nu}{\mu} \Omega \frac{1}{\nu-2}$, $C = \frac{1}{3-2\nu}$.

Интеграл берется аналитически:

$$\begin{aligned} & \int_{\bar{R}}^1 \frac{\bar{K}-\bar{p}}{\bar{K}} \xi^2 d\xi = \frac{1}{3} (1 - \bar{R}^3) - \\ & - \frac{1}{\bar{K}} \int_{\bar{R}}^1 \xi^2 \left[\frac{1}{k} (1 - \xi^{-2\nu}) + A \left(\frac{\bar{R}}{\xi} \right) (1 - \xi^{-2\nu+1}) - B \left(\frac{\bar{R}}{\xi} \right)^4 (1 - \xi^{-2\nu+4}) + \xi^{-2\nu} \frac{p_e}{\sigma_T} \right] d\xi = \\ & = \frac{1}{3} (1 - \bar{R}^3) - \frac{1}{\bar{K}} \left[\frac{1}{k} \int_{\bar{R}}^1 \xi^2 d\xi - \frac{1}{k} \int_{\bar{R}}^1 \xi^{-2\nu+2} d\xi - A \bar{R} \int_{\bar{R}}^1 \xi^{-2\nu+2} d\xi + \right. \\ & \left. + A \bar{R} \int_{\bar{R}}^1 \xi d\xi + B \bar{R}^4 \int_{\bar{R}}^1 \xi^{-2\nu+2} d\xi - B \bar{R}^4 \int_{\bar{R}}^1 \xi^{-2} d\xi + \frac{p_e}{\tau_0} \int_{\bar{R}}^1 \xi^{-2\nu+2} d\xi \right] = \\ & = \frac{1}{3} - \frac{1}{3} \bar{R}^3 - \frac{1}{3} \frac{1}{\bar{K}} \frac{1}{k} (1 - \bar{R}^3) + \frac{1}{\bar{K}} \frac{1}{k} C (1 - \bar{R}^{-2\nu+3}) + \frac{1}{\bar{K}} A C \bar{R} (1 - \bar{R}^{-2\nu+3}) - \\ & - \frac{1}{2\bar{K}} A \bar{R} (1 - \bar{R}^2) - \frac{1}{\bar{K}} B C \bar{R}^4 (1 - \bar{R}^{-2\nu+3}) - \frac{1}{\bar{K}} B \bar{R}^4 \left(1 - \frac{1}{\bar{R}} \right) - \frac{1}{\bar{K}} C \frac{p_e}{\tau_0} (1 - \bar{R}^{-2\nu+3}) = \\ & = \left(\frac{1}{3} - \frac{1}{3} \frac{1}{\bar{K}} \frac{1}{k} + \frac{1}{\bar{K}} \frac{1}{k} C - \frac{1}{\bar{K}} C \frac{p_e}{\tau_0} \right) + \bar{R} \left(\frac{1}{\bar{K}} A C - \frac{1}{2\bar{K}} A \right) + \\ & + \bar{R}^3 \left(-\frac{1}{3} + \frac{1}{3} \frac{1}{\bar{K}} \frac{1}{k} + \frac{1}{2\bar{K}} A + \frac{1}{\bar{K}} B \right) + \\ & - \bar{R}^4 \left(\frac{1}{\bar{K}} B C + \frac{1}{\bar{K}} B \right) - \bar{R}^{-2\nu+3} \left(\frac{1}{\bar{K}} \frac{1}{k} C - \frac{1}{\bar{K}} C \frac{p_e}{\tau_0} \right) - \frac{1}{\bar{K}} A C \bar{R}^{-2\nu+4} + \frac{1}{\bar{K}} B C \bar{R}^{-2\nu+7} \end{aligned}$$

Получили уравнение относительно \bar{R}

$$a_0 + a_1 \bar{R} + a_3 \bar{R}^3 + a_4 \bar{R}^4 + a_5 \bar{R}^{-2\nu+3} + a_6 \bar{R}^{-2\nu+4} + a_7 \bar{R}^{-2\nu+7} = \frac{1}{3} (\bar{r}_*^3 - \lambda^3 \bar{R}^3), \quad (3.3)$$

где коэффициенты выражаются следующим образом:

$$\begin{aligned}
a_0 &= \left(\frac{1}{3} - \frac{1}{3} \frac{1}{\bar{K}} \frac{1}{k} + \frac{1}{\bar{K}} \frac{1}{k} C - \frac{1}{\bar{K}} C \frac{p_e}{\tau_0} \right), \\
a_1 &= \frac{1}{\bar{K}} AC - \frac{1}{2\bar{K}} A, \\
a_3 &= -\frac{1}{3} + \frac{1}{3} \frac{1}{\bar{K}} \frac{1}{k} + \frac{1}{2\bar{K}} A + \frac{1}{\bar{K}} B, \\
a_4 &= -\frac{1}{\bar{K}} BC - \frac{1}{\bar{K}} B, \\
a_5 &= -\frac{1}{\bar{K}} \frac{1}{k} C + \frac{1}{\bar{K}} C \frac{p_e}{\tau_0}, \\
a_6 &= -\frac{1}{\bar{K}} AC, \quad a_7 = \frac{1}{\bar{K}} BC.
\end{aligned}$$

\bar{R} находим численно, решая уравнение (3.3) методом Ньютона.

4. Математическая модель линейно-сжимаемой упругопластической среды Мизеса-Шлейхера

Математическая модель среды описывается системой дифференциальных уравнений, выражающих законы неразрывности и изменения количества движения в Эйлеровых переменных, которая с учетом сферической симметрии записывается следующим образом:

$$\begin{aligned}
\rho \left(\frac{\partial v}{\partial r} + 2 \frac{v}{r} \right) &= - \left(\frac{\partial \rho}{\partial t} + v \frac{\partial \rho}{\partial r} \right) \\
\frac{\partial \sigma}{\partial r} + 2 \frac{(\sigma - \sigma_\theta)}{r} &= - \rho \left(\frac{\partial v}{\partial t} + v \frac{\partial v}{\partial r} \right)
\end{aligned} \tag{4.1}$$

где ρ - плотность в деформированном состоянии, v - скорость, σ и σ_θ - радиальная и окружная компоненты тензора напряжений Коши (принимаются положительными при сжатии), r - радиальная координата.

Линейная сжимаемость среды выражается зависимостью среднего напряжения от объемной деформации θ с постоянным модулем объемного сжатия K :

$$\frac{(\sigma + 2\sigma_\theta)}{3} = K\theta \equiv K \left(\frac{\rho}{\rho_0} - 1 \right) \tag{4.2}$$

где ρ_0 - плотность в начальном состоянии.

В пластической области среда подчиняется условию текучести Мизеса-Шлейхера:

$$\sigma - \sigma_\theta = \tau_0 + \frac{k(\sigma + 2\sigma_\theta)}{3} \tag{4.3}$$

Решение задачи строится в области, ограниченной радиусами $r = V_0 t$ и $r = ct$, примыкающей к области невозмущенной среды.

Зависимость напряжения от плотности в деформируемом состоянии при учете выражений (4.2), (4.3) имеет вид:

$$\sigma = \left(1 + \frac{2}{3}k\right)K\theta + \frac{2}{3}\tau_0 = \left(1 + \frac{2}{3}k\right)K\left(\frac{\rho}{\rho_0} - 1\right) + \frac{2}{3}\tau_0$$

$$\sigma_\theta = \frac{3}{2}K\theta - \frac{\sigma}{2} = \left(1 - \frac{k}{3}\right)K\theta + \frac{\tau_0}{3} = \left(1 - \frac{k}{3}\right)K\left(\frac{\rho}{\rho_0} - 1\right) + \frac{\tau_0}{3}$$

Выражения для определения производных запишутся в следующем виде:

$$\frac{\partial \rho}{\partial t} = \frac{\partial \rho}{\partial \sigma} \frac{\partial \sigma}{\partial t} = \frac{1}{\frac{\partial \sigma}{\partial \rho}} \frac{\partial \sigma}{\partial t} = \frac{\rho_0}{K\left(1 + \frac{2}{3}k\right)} \frac{\partial \sigma}{\partial t} \quad (4.4)$$

$$\frac{\partial \rho}{\partial r} = \frac{\partial \rho}{\partial \sigma} \frac{\partial \sigma}{\partial r} = \frac{1}{\frac{\partial \sigma}{\partial \rho}} \frac{\partial \sigma}{\partial r} = \frac{\rho_0}{K\left(1 + \frac{2}{3}k\right)} \frac{\partial \sigma}{\partial r}$$

Построим решение одномерной задачи о расширении сферической полости, полагая выполненным условие текучести Мизеса-Шлейхера (4.3).

Система дифференциальных уравнений в частных производных (4.1) относительно σ и ν при учете выражений (4.4) запишется следующим образом:

$$\rho(\sigma) \left(\frac{\partial \nu}{\partial r} + 2 \frac{\nu}{r} \right) = - \frac{\rho_0}{K\left(1 + \frac{2}{3}k\right)} \left(\frac{\partial \sigma}{\partial t} + \nu \frac{\partial \sigma}{\partial r} \right) \quad (4.5)$$

$$\frac{\partial \sigma}{\partial r} + 2 \frac{\tau_0 + k\rho(\sigma)}{r} = - \rho(\sigma) \left(\frac{\partial \nu}{\partial t} + \nu \frac{\partial \nu}{\partial r} \right)$$

где $\rho(\sigma) = \rho_0 \left(1 + \frac{\sigma - 2/3\tau_0}{K(1 + 2/3k)} \right)$, $p(\sigma) = (\sigma + 2\sigma_\theta)/3$ – гидростатическое давление.

На границе расширяющейся полости радиуса $R_0 = V_0 t$ задается скорость V_0 , внешняя поверхность сферического слоя R_∞ свободна от напряжений:

$$\nu|_{r=R_0} = V_0, \quad \sigma|_{r=R_\infty} = 0, \quad (4.6)$$

в начальный момент времени:

$$R_0|_{t=0} = 0, \quad \nu|_{t=0} = 0, \quad \sigma|_{t=0} = 0$$

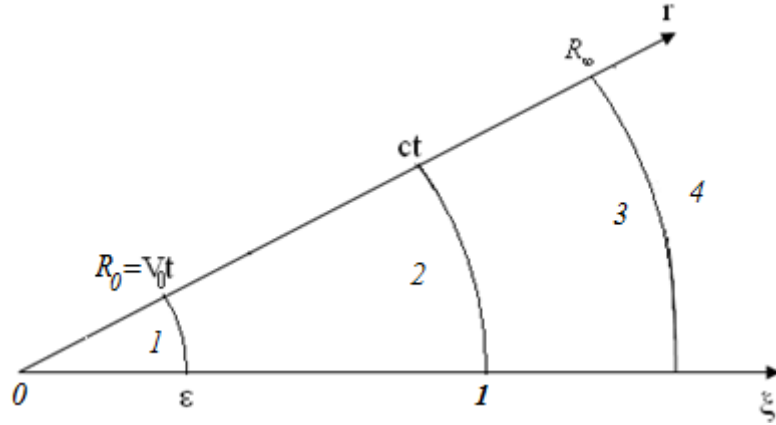


Рис. 4.1. Постановка задачи о расширении сферической полости в сжимаемой упруго-пластической среде: 1- полость, 2, 3 - области пластического и упругого деформирования, 4- невозмущенная область

Рассмотрим автомодельное решение системы (4.5) относительно переменной $\xi = \frac{r}{ct}$. Введем безразмерные переменные:

$$U = \frac{v}{c}, S = \frac{\sigma}{K_1}, P = \frac{p}{K_1}, T = \frac{\tau_0}{K_1}, b = \frac{\rho_0}{\rho}, \beta^2 = \frac{c^2}{a^2}, K_1 = \left(1 + \frac{2}{3}k\right)K.$$

Относительно введенной безразмерной переменной ξ производные определяются следующим образом:

$$\begin{aligned} \frac{\partial v}{\partial t} &= \frac{\partial v}{\partial \xi} \frac{\partial \xi}{\partial t} = -\frac{c^2 r}{ct^2} \frac{\partial U}{\partial \xi}, \\ \frac{\partial v}{\partial r} &= \frac{\partial v}{\partial \xi} \frac{\partial \xi}{\partial r} = \frac{c^2}{ct} \frac{\partial U}{\partial \xi} \\ \frac{\partial \sigma}{\partial t} &= \frac{\partial \sigma}{\partial \theta} \frac{\partial \theta}{\partial \xi} \frac{\partial \xi}{\partial t} = \left(1 + \frac{2}{3}k\right)K \left(\frac{-r}{ct^2}\right) \frac{\partial \theta}{\partial \xi} = K_1 \left(\frac{-r}{ct^2}\right) \frac{\partial \theta}{\partial \xi} \\ \frac{\partial \sigma}{\partial r} &= \frac{\partial \sigma}{\partial \theta} \frac{\partial \theta}{\partial \xi} \frac{\partial \xi}{\partial r} = \left(1 + \frac{2}{3}k\right)K \frac{1}{ct} \frac{\partial \theta}{\partial \xi} = K_1 \frac{1}{ct} \frac{\partial \theta}{\partial \xi} \end{aligned} \quad (4.7)$$

Преобразования (4.7) при учете обозначений (4.4) приводят систему обыкновенных дифференциальных уравнений (4.5) первого порядка относительно U и S к виду:

$$\begin{aligned} U' + \frac{2U}{\xi} &= b(\xi - U)S' \\ S' + \frac{2(T + kP)}{\xi} &= \frac{\beta^2}{b}(\xi - U)U' \end{aligned}$$

где штрихом обозначено дифференцирование по переменной ξ .

На границе полости $\xi = \varepsilon$,двигающейся со скоростью V_0 , выполняется условие:

$$U|_{\xi=\varepsilon} = \varepsilon,$$

на границе раздела упругой и пластической зон $\xi=1$ используется упругое решение:

$$S|_{\xi=1} = \frac{2}{3}T + \frac{2(1+\nu)}{3(1-\nu)} \frac{\varepsilon J T}{\left[1 + \sqrt{\frac{(1-2\nu)}{(1-\nu)} \varepsilon J}\right]}, \quad U|_{\xi=1} = 1 - e^{-\frac{(1+\nu)K_1 S / K}{2(1-2\nu)}} \quad (4.8)$$

где ν - коэффициент Пуассона, $J = \rho_0 V_0^2 / \tau_0$

Таким образом, сформулирована краевая задача для системы обыкновенных дифференциальных уравнений, которая в нормальном виде записывается следующим образом:

$$\frac{dU}{d\xi} = \frac{\frac{2U}{\xi} + \frac{2(T+kP)(\xi-U)}{\xi}}{\beta^2(\xi-U)^2 - 1}$$

$$\frac{dS}{d\xi} = \frac{\frac{2(T+kP)}{\xi} + \frac{2\beta^2 U(\xi-U)}{b\xi}}{\beta^2(\xi-U)^2 - 1}, \quad (4.9)$$

$$S|_{\xi=1} = \frac{2}{3}T + \frac{2(1+\nu)}{3(1-\nu)} \frac{\varepsilon J T}{\left[1 + \sqrt{\frac{(1-2\nu)}{(1-\nu)} \varepsilon J}\right]}, \quad U|_{\xi=1} = 1 - e^{-\frac{(1+\nu)K_1 S / K}{2(1-2\nu)}}$$

В систему уравнений (4.9) входит неизвестный параметр c – скорость фронта на ударной волне. Нахождение неизвестной скорости c проводится итерационно методом стрельбы (*Приложение 1*) до выполнения с заданной точностью граничного условия $|U - \varepsilon| < \delta$. На каждой итерации метода стрельбы применяется метод Рунге-Кутты четвертого порядка точности (*Приложение 2*) в области изменения переменной ξ от границы упругопластического раздела при $\xi=1$ до границы полости $\xi=\varepsilon$.

5. Математическая модель нелинейно-сжимаемой среды с линейной ударной адиабатой

Математическая модель среды описывается системой дифференциальных уравнений, выражающих законы неразрывности и изменения количества движения в Эйлеровых переменных, которая с учетом сферической симметрии записывается следующим образом:

$$\rho \left(\frac{\partial v}{\partial r} + 2 \frac{v}{r} \right) = - \left(\frac{\partial \rho}{\partial t} + v \frac{\partial \rho}{\partial r} \right) \quad (5.1)$$

$$\frac{\partial \sigma}{\partial r} + 2 \frac{(\sigma - \sigma_\theta)}{r} = - \rho \left(\frac{\partial v}{\partial t} + v \frac{\partial v}{\partial r} \right)$$

где ρ – плотность в деформированном состоянии, v – скорость, σ и σ_θ – радиальная и окружная компоненты тензора напряжений Коши (принимаются положительными при сжатии), r – радиальная координата.

Система дифференциальных уравнений в частных производных (5.1) замыкается конечными соотношениями:

$$\begin{aligned}\sigma &= f_1(\theta), \quad \theta = 1 - \rho_0/\rho \\ \sigma - \sigma_\theta &= f_2(\theta),\end{aligned}$$

где ρ_0 – начальная плотность среды, θ – объемная деформация. Функции f_1 и f_2 определяют сжимаемость и условие пластичности выбранной модели среды.

Решение задачи строится в области пластического течения, ограниченной радиусами $R_0 = V_0 t$ и $r = ct$, примыкающей к области невозмущенной среды. Область упругого деформирования не рассматривается, так как предполагается, что величина c больше значения скорости распространения упругой волны.

Для решения поставленной задачи (5.1) необходимо конкретизировать функций f_1 и f_2 . Известно, что сжимаемость среды описывается ударной адиабатой, представленной линейной зависимостью скорости ударной волны c от массовой скорости v за ее фронтом:

$$c = A + \lambda v \quad (5.2)$$

Константа A близка к скорости распространения плоской волны сжатия при малых давлениях, λ характеризует предельную сжимаемость среды.

Рассмотрим условие Гюгонио (условия динамической совместимости на разрывах):

$$\begin{aligned}[\rho]c - [\rho]v &= 0 \\ [\rho v]c - [\rho v^2 - \sigma] &= 0\end{aligned}$$

Квадратными скобками обозначена разность соответствующих величин «слева» и «справа» от разрыва.

$$(\rho - \rho_0)c = \rho v, \quad \rho v c = \rho v^2 + \sigma$$

или

$$\theta = \frac{v}{c}, \quad \frac{\sigma}{\rho c^2} = \frac{v}{c} - \left(\frac{v}{c}\right)^2, \quad \frac{\sigma}{\rho_0 c^2} = \theta = \frac{v}{c} \quad (5.3)$$

Соотношения (5.3) получены в предположении $v_0 = \sigma_0 = 0$.

Выразим скорости через объемную деформацию θ с учетом соотношения на ударной волне (5.2):

$$v = \frac{A\theta}{1 - \lambda\theta}, \quad c = \frac{A}{1 - \lambda\theta}$$

С учетом условия на ударной волне напряжение определяется следующим образом:

$$\sigma = \frac{\rho_0}{(1 - \theta)(1 - \lambda\theta)} \left(\frac{A}{1 - \lambda\theta} - \frac{A\theta}{1 - \lambda\theta} \right) = \frac{\rho_0 A^2 \theta}{(1 - \lambda\theta)^2}$$

Полученное выражение можно использовать для определения функции f_1 :

$$f_1 \equiv \frac{\rho_0 A^2 \theta}{(1 - \lambda \theta)^2}, \quad (5.4)$$

Сопротивление среды сдвигу определяется линейной зависимостью предела текучести от давления

$$f_2(\theta) \equiv \tau_0 + \mu \sigma, \quad (5.5)$$

где коэффициенты τ_0 и μ характеризуют сцепление и внутреннее трение среды.

Построим решение одномерной задачи о расширении сферической полости в пластической области. Система дифференциальных уравнений в частных производных (5.1) относительно v и θ запишется следующим образом:

$$\rho \left(\frac{\partial v}{\partial r} + 2 \frac{v}{r} \right) = - \left(\frac{\partial \rho}{\partial t} + v \frac{\partial \rho}{\partial r} \right)$$

$$\rho_0 A^2 \frac{\partial \frac{\theta}{(1 - \lambda \theta)^2}}{\partial r} + 2 \frac{\left(\tau_0 + \mu \frac{\rho_0 A^2 \theta}{(1 - \lambda \theta)^2} \right)}{r} = - \rho \left(\frac{\partial v}{\partial t} + v \frac{\partial v}{\partial r} \right)$$

На границе расширяющейся полости радиуса $R_0 = V_0 t$ задается скорость V_0 , внешняя поверхность сферического слоя R_∞ свободна от напряжений:

$$v|_{r=R_0} = V_0, \quad \sigma|_{r=R_\infty} = 0,$$

в начальный момент времени:

$$R_0|_{t=0} = 0, \quad v|_{t=0} = 0, \quad \sigma|_{t=0} = 0$$

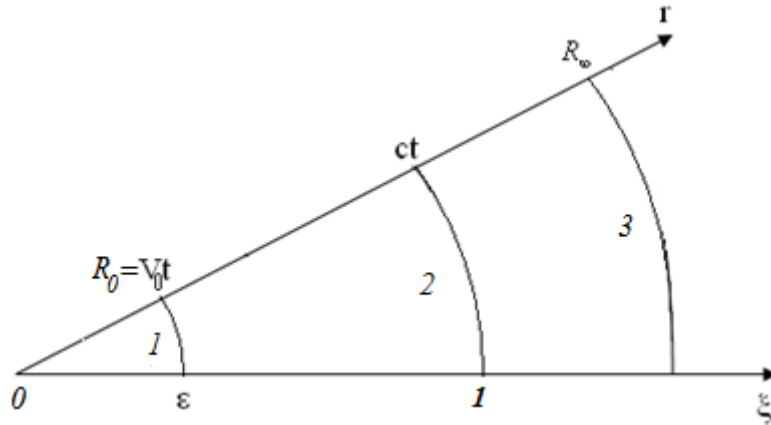


Рис. 5.1. Постановка задачи о расширении сферической полости в сжимаемой упруго-пластической среде: 1- полость, 2 - область пластического деформирования, 3- невозмущенная область

Рассмотрим автомодельное решение системы относительно переменной $\xi = \frac{r}{ct}$ и введем безразмерную переменную $U = \frac{v}{c}$.

Относительно переменной ξ производные определяются следующим образом:

$$\frac{\partial v}{\partial t} = \frac{\partial v}{\partial \xi} \frac{\partial \xi}{\partial t} = - \frac{c^2 r}{ct^2} \frac{\partial U}{\partial \xi}, \quad \frac{\partial v}{\partial r} = \frac{\partial v}{\partial \xi} \frac{\partial \xi}{\partial r} = \frac{c^2}{ct} \frac{\partial U}{\partial \xi}$$

$$\frac{\partial \sigma}{\partial t} = \frac{\partial \sigma}{\partial \theta} \frac{\partial \theta}{\partial \xi} \frac{\partial \xi}{\partial t} = \frac{\rho_0 A^2 (1 + \lambda \theta) \left(\frac{-r}{ct^2} \right) \frac{\partial \theta}{\partial \xi}}{(1 - \lambda \theta)^3} \quad (5.6)$$

$$\frac{\partial \sigma}{\partial r} = \frac{\partial \sigma}{\partial \theta} \frac{\partial \theta}{\partial \xi} \frac{\partial \xi}{\partial r} = \frac{\rho_0 A^2 (1 + \lambda \theta) \frac{1}{ct} \frac{\partial \theta}{\partial \xi}}{(1 - \lambda \theta)^3}$$

Подстановка в систему уравнений (5.1) при учете соотношений (5.4) - (5.6) приводит систему к следующему виду:

$$\frac{1}{1 - \theta} \left(\frac{c}{ct} \frac{\partial U}{\partial \xi} + 2 \frac{cU}{\xi ct} \right) = - \left(- \frac{\xi ct}{(1 - \theta)^2 ct^2} \frac{\partial \theta}{\partial \xi} + \frac{cU}{(1 - \theta)^2 ct} \frac{\partial \theta}{\partial \xi} \right) \quad (5.7)$$

$$\frac{\rho_0 A^2}{ct} \frac{1 + \lambda \theta}{(1 - \lambda \theta)^3} \frac{\partial \theta}{\partial \xi} + 2 \left(\frac{\mu \rho_0 A^2 \theta}{(1 - \lambda \theta)^2 ct \xi} + \frac{\tau_0}{\xi ct} \right) = - \frac{\rho_0}{1 - \theta} \left(- \frac{c \xi}{ct^2} \frac{\partial U}{\partial \xi} + \frac{U c^2}{ct} \frac{\partial U}{\partial \xi} \right)$$

Сделаем следующие замены:

$$T = \frac{\tau_0}{\rho_0 A^2}, \beta^2 = \frac{c^2}{A^2}, S = \frac{\sigma}{\rho_0 A^2} = \frac{\theta}{(1 - \lambda \theta)^2}, F = \frac{\xi - U}{1 - \theta}, B = \frac{1 + \lambda \theta}{(1 - \lambda \theta)^3}$$

Система двух обыкновенных дифференциальных уравнений (5.7) первого порядка относительно переменных U и θ запишется следующим образом:

$$U' + \frac{2U}{\xi} = F\theta'$$

$$B\theta' + \frac{2(T + \mu S(\theta))}{\xi} = \beta^2 F U'$$

штрихом обозначено дифференцирование по переменной ξ .

Граничное условие при $\xi = \varepsilon$, $\varepsilon = \frac{V_0}{c}$:

$$U|_{\xi=\varepsilon} = \varepsilon,$$

граничные условия при $\xi = 1$ следуют из соотношений Гюгонио на ударной волне (5.3):

$$U|_{\xi=1} = \theta|_{\xi=1} = b,$$

где b определяется решением уравнения $\frac{\rho_0 A^2 b}{(1 - \lambda b)^2} = \rho_0 c^2 b$ (см. рис. 5.2).

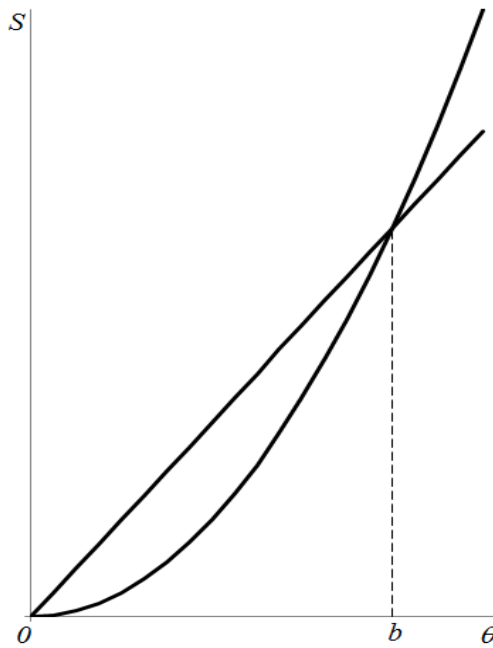


Рис. 5.2. Безразмерное напряжение в пластической области и кривая ударного перехода в зависимости от объемной деформации

Таким образом, сформулирована краевая задача для системы обыкновенных дифференциальных уравнений, которая в нормальном виде записывается следующим образом:

$$\begin{aligned}
 U' &= \frac{\frac{2UB}{\xi} + \frac{2F(T + \mu S)}{\xi}}{\beta^2 F^2 - B} \\
 \theta' &= \frac{\frac{2U\beta^2 F}{\xi} + \frac{2(T + \mu S)}{\xi}}{\beta^2 F^2 - B} \quad (5.8) \\
 U|_{\xi=1} &= \frac{1}{\lambda} \left(1 - \frac{1}{\beta} \right), \quad U|_{\xi=\varepsilon} = \varepsilon, \\
 \theta|_{\xi=1} &= \frac{1}{\lambda} \left(1 - \frac{1}{\beta} \right)
 \end{aligned}$$

В систему уравнений (5.8) входит неизвестный параметр c – скорость фронта ударной волны. Нахождение неизвестной скорости c проводится итерационно методом стрельбы (Приложение 1) до выполнения с заданной точностью граничного условия $|U - \varepsilon| < \delta$. На каждой итерации метода стрельбы применяется метод Рунге-Кутты четвертого порядка точности (Приложение 2) в области изменения переменной ξ от границы упругопластического раздела при $\xi=1$ до границы полости $\xi=\varepsilon$.

6. Математическая модель нелинейно-сжимаемой среды Григоряна

Математическая модель [6] среды описывается системой дифференциальных уравнений, выражающих законы сохранения массы, импульса и соотношений теории пластического течения с условием пластичности Мизеса:

$$\begin{aligned} \frac{\partial \theta}{\partial t} + v \frac{\partial \theta}{\partial r} + (1 - \theta) \left(\frac{\partial v}{\partial r} + \frac{2v}{r} \right) &= 0 \\ \rho_0 \left(\frac{\partial v}{\partial t} + v \frac{\partial v}{\partial r} \right) + (1 - \theta) \left(\frac{\partial \sigma}{\partial r} + 2 \frac{(\sigma - \sigma_\theta)}{r} \right) &= 0 \\ 2G \left[\frac{\partial v}{\partial r} - \frac{1}{3} \left(\frac{\partial v}{\partial r} + \frac{2v}{r} \right) \right] &= - \frac{\partial(\sigma - p)}{\partial t} - v \frac{\partial(\sigma - p)}{\partial r} - \Lambda(\sigma - p) \\ \sigma - \sigma_\theta &\leq \sigma_T \end{aligned} \quad (6.1)$$

где обозначено: t – время, θ – объемная деформация, ρ_0 и ρ – начальная и текущая плотность, v – скорость, σ и σ_θ – радиальная и окружная компоненты тензора напряжений Коши (принимаются положительными при сжатии), r – радиальная координата, G – модуль сдвига, σ_T – предел текучести, p – гидростатическое давление. Параметр $\Lambda = 0$ при упругом деформировании и $\Lambda > 0$, если реализуется условие пластичности.

Система дифференциальных уравнений в частных производных (6.1) замыкается конечными соотношениями:

$$\begin{aligned} p &= f_1(\theta), \quad \theta = 1 - \rho_0/\rho, \quad p \equiv (\sigma + 2\sigma_\theta)/3 \\ \sigma_T &\equiv f_2(p(\theta)) \end{aligned}$$

Функции f_1 и f_2 определяют сжимаемость и условие пластичности модели среды Григоряна. В частности, модель используется для описания динамического деформирования пористых грунтовых сред.

Решение задачи строится в области, ограниченной радиусами $R_0 = V_0 t$ и $r = ct$, примыкающей к области упругого деформирования. Область упругого деформирования ограничена координатой $r = c_e t$, где $c_e = \sqrt{\left(K + \frac{4}{3}G\right)/\rho_0}$ – скорость распространения упругой волны, K – упругий модуль объемного сжатия.

Построим решение одномерной задачи о расширении сферической полости в области пластической деформации при выполнении условия текучести: $\sigma - \sigma_\theta = \sigma_T$. При учете равенства нулю первого инварианта тензора девиатора: $\sigma - p + 2(\sigma_\theta - p) = 0$ и условия пластичности: $\sigma - \sigma_\theta = f_2(p(\theta))$, $p = f_1(\theta)$, получаем:

$$\sigma = f_1(\theta) + \frac{2}{3} f_2(\theta).$$

Система дифференциальных уравнений в частных производных (6.1) относительно θ и v запишется в виде:

$$\frac{\partial \theta}{\partial t} + v \frac{\partial \theta}{\partial r} + (1 - \theta) \left(\frac{\partial v}{\partial r} + \frac{2v}{r} \right) = 0$$

$$\rho_0 \left(\frac{\partial v}{\partial t} + v \frac{\partial v}{\partial r} \right) + (1 - \theta) \left(\frac{\partial (f_1(\theta) + \frac{2}{3} f_2(\theta))}{\partial r} + 2 \frac{f_2(\theta)}{r} \right) = 0$$

На границе расширяющейся полости радиуса $R_0 = V_0 t$ задается скорость V_0 , внешняя поверхность сферического слоя R_∞ свободна от напряжений:

$$v|_{r=R_0} = V_0, \quad \sigma|_{r=R_\infty} = 0, \quad R_0|_{t=0} = 0$$

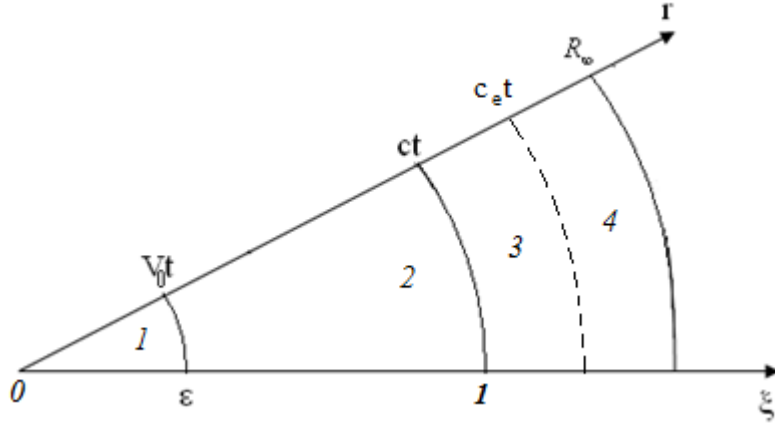


Рис. 6.1. Постановка задачи о расширении сферической полости в сжимаемой упруго-пластической среде: 1- полость, 2, 3 - области пластического и упругого деформирования, 4- невозмущенная область

Рассмотрим автомодельное решение системы относительно переменной $\xi = \frac{r}{ct}$ и введем безразмерную переменную $U = \frac{v}{c}$.

Частные производные по времени и пространству определяются следующим образом:

$$\frac{\partial}{\partial t} = -\frac{\xi}{t} \frac{\partial}{\partial \xi}, \quad \frac{\partial}{\partial r} = \frac{1}{t} \frac{\partial}{\partial \xi}$$

В результате подстановки система обыкновенных дифференциальных уравнений (6.1) примет следующий вид:

$$U' + 2 \frac{U}{\xi} = \frac{(\xi - U)}{1 - \theta} \theta' \quad (6.2)$$

$$\frac{\partial f_1(\theta) / \partial \theta}{\rho_0 c^2} \theta' + 2 \frac{f_2(\theta)}{\rho_0 c^2 \xi} = \frac{(\xi - U)}{1 - \theta} U'$$

штрихом обозначено дифференцирование по ξ . Для решения системы (6.2) необходимо конкретизировать вид функций f_1 и f_2 .

Сжимаемость среды отражается ударной адиабатой, достаточно часто представленной линейной зависимостью скорости ударной волны c от массовой скорости v за ее фронтом:

$$c = A + \lambda v \quad (6.3)$$

Константа A близка к скорости распространения плоской волны сжатия при малых давлениях, λ характеризует предельную сжимаемость среды.

Примем зависимость f_1 , определяющую давление, в виде:

$$f_1 \equiv \frac{\rho_0 a^2 \theta}{(1 - l\theta)^2},$$

полученном ранее для напряжения с другим, вообще говоря, набором констант.

Сопротивление среды сдвигу определяется дробно-рациональной зависимостью предела текучести от давления

$$f_2(\theta) = \tau_0 + \frac{kp}{1 + kp/(\tau_m - \tau_0)}, \quad (6.4)$$

где коэффициенты τ_0 , τ_m и k характеризуют сцепление, предельное значение предела текучести и внутреннее трение среды соответственно.

Таким образом, система обыкновенных дифференциальных уравнений первого порядка относительно безразмерных величин U и θ запишется следующим образом:

$$U' + 2 \frac{U}{\xi} = \frac{(\xi - U)}{1 - \theta} \theta' \quad (6.5)$$

$$\tilde{K} \theta' + 2 \frac{\tilde{f}_2(\theta)}{\xi} = \frac{(\xi - U)}{1 - \theta} U',$$

где обозначено $\tilde{f}_1(\theta) = \frac{f_1(\theta)}{\rho_0 c^2}$, $\tilde{f}_2(\theta) = \frac{f_2(\theta)}{\rho_0 c^2}$, $\tilde{K} = \frac{\partial \tilde{f}_1(\theta)}{\partial \theta}$.

При изменении переменной ξ от 1 до ε , то есть, от границы пластической волны до границы полости (рис. 6.1) неизвестная скорость c определяется условием:

$$U|_{\xi=\varepsilon} = \varepsilon, \quad \varepsilon = \frac{V_0}{c}$$

На границе раздела упругой и пластической зон справедливо упругое решение:

$$S_e = \frac{2}{3}T + \frac{2(1+\nu)}{3(1-\nu)} \frac{\varepsilon J T}{\left[1 + \sqrt{\frac{(1-2\nu)}{(1-\nu)}} \varepsilon J\right]}, \quad U_e = 1 - e^{-\frac{(1+\nu)K_1 S / K}{2(1-2\nu)}}$$

где ν - коэффициент Пуассона, K - модуль объемного сжатия, $J = \rho_0 V_0^2 / \tau_0$

$$S = \frac{\sigma}{K_1}, \quad P = \frac{p}{K_1}, \quad T = \frac{\tau_0}{K_1}, \quad b = \frac{\rho_0}{\rho}, \quad \beta^2 = \frac{c^2}{a^2}, \quad K_1 = \left(1 + \frac{2}{3}k\right)K.$$

Определив таким образом напряжения S_e и скорости U_e как функции ε , поставим граничные условия при $\xi=1$

$$S|_{\xi=1} = S_e, \quad U|_{\xi=1} = U_e$$

Обозначим также: $F = \frac{\xi - U}{1 - \theta}$.

В случае сверхзвукового движения, когда $c/c_e > 1$, применяются граничные условия при $\xi = 1$, которые следуют из соотношений Гюгонио на ударной волне в размерном и в безразмерном виде

$$\begin{aligned} (\rho - \rho_0)c = \rho v & \quad \text{или} \quad \rho(c - v) = \rho_0 c & \quad \left(1 - \frac{\rho_0}{\rho}\right) = \frac{v}{c} & \quad \theta = U, \\ \rho v c = \rho v^2 + \sigma & \quad \text{или} \quad \rho(c - v)v = \sigma & \quad \rho_0 c^2 \frac{v}{c} = \sigma & \quad \theta = S, \end{aligned}$$

где $S = \tilde{f}_1(\theta)$

и имеют вид:

$$U|_{\xi=1} = \theta|_{\xi=1} = b,$$

где b определяется решением уравнения $f_1(b) = \rho_0 c^2 b$.

На рис. 6.2 приведены напряжения в пластической области и кривые ударного перехода, отнесенные к величине $\rho_0(c^*)^2$, в зависимости от объемной деформации. Сплошной линией обозначены допустимые напряжения при пластическом деформировании, при $\theta < \theta^*$ деформирование происходит упругопластически и не реализуется в задаче. Штриховые линии отвечают ударным переходам при $c_e = c^*$ и $c_e = c^I, c^{II} > c^*$. Скоростям c^I, c^{II} на рис. 6.2 соответствуют значения объемной деформации b^I, b^{II} . Из рис. 6.2 также следует, что при определенных параметрах упругого участка кривой сжатия, когда $c_e = \sqrt{\left(K + \frac{4}{3}G\right) / \rho_0} < c^*$, фронт единой пластической УВ, распространяющейся по невозмущенному пространству, не формируется.

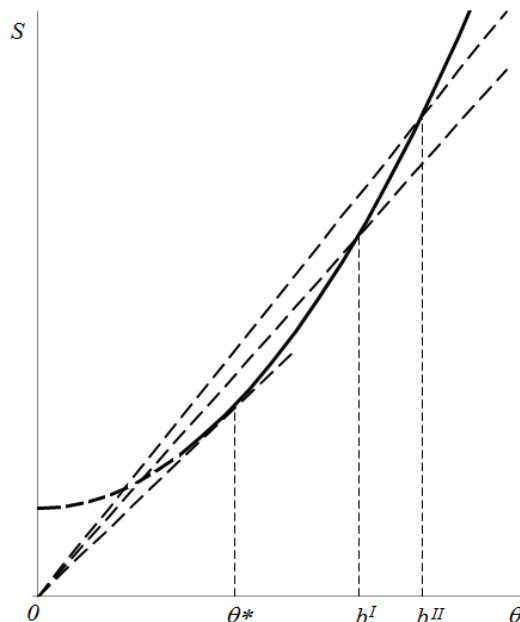


Рис. 6.2. Безразмерные напряжения в пластической области и кривые ударного перехода в зависимости от объемной деформации

Таким образом, сформулирована краевая задача для системы дифференциальных уравнений, которая в нормальном виде записывается следующим образом:

$$\frac{dU}{d\xi} = \frac{\frac{2U}{\xi} \frac{\partial \tilde{f}_1(\theta)}{\partial \theta} + \frac{2F\tilde{f}_2(\theta)}{\xi}}{F^2 - \frac{\partial \tilde{f}_1(\theta)}{\partial \theta}} \quad (6.6)$$

$$\frac{d\theta}{d\xi} = \frac{\frac{2UF}{\xi}}{F^2 - \frac{\partial \tilde{f}_1(\theta)}{\partial \theta}}$$

$$U|_{\xi=\varepsilon} = \varepsilon, \quad S|_{\xi=1} = S_e, \quad U|_{\xi=1} = U_e, \quad c < c_e$$

$$U|_{\xi=1} = \theta|_{\xi=1} = b, \quad f_1(b) = \rho_0 c^2 b, \quad c \geq c_e$$

В систему уравнений (6.6) входит неизвестный параметр c – скорость фронта на ударной волне. Нахождение неизвестной скорости c проводится итерационно методом стрельбы (*Приложение 1*) до выполнения с заданной точностью граничного условия $|U - \varepsilon| < \delta$. На каждой итерации метода стрельбы применяется метод Рунге-Кутты четвертого порядка точности (*Приложение 2*) в области изменения переменной ξ от границы упругопластического раздела при $\xi=1$ до границы полости $\xi=\varepsilon$.

7. Аналитическое решение в предположении несжимаемости среды за фронтом ударной волны

Математическая модель среды описывается системой дифференциальных уравнений, выражающих законы неразрывности и изменения количества движения в Эйлеровых переменных, которая с учетом сферической симметрии записывается следующим образом:

$$\begin{aligned} \rho \left(\frac{\partial v}{\partial r} + 2 \frac{v}{r} \right) &= - \left(\frac{\partial \rho}{\partial t} + v \frac{\partial \rho}{\partial r} \right) \\ \frac{\partial \sigma}{\partial r} + 2 \frac{(\sigma - \sigma_\theta)}{r} &= - \rho \left(\frac{\partial v}{\partial t} + v \frac{\partial v}{\partial r} \right) \end{aligned} \quad (7.1)$$

где ρ – плотность в деформированном состоянии, v – скорость, σ и σ_θ – радиальная и окружная компоненты тензора напряжений Коши (принимаются положительными при сжатии), r – радиальная координата.

Система дифференциальных уравнений в частных производных (7.1) замыкается конечными соотношениями:

$$\begin{aligned} \sigma &= f_1(\theta), \quad \theta = 1 - \rho_0 / \rho \\ \sigma - \sigma_\theta &= f_2(\theta) \end{aligned}$$

где ρ_0 – начальная плотность среды, θ – объемная деформация. Функции f_1 и f_2 определяют сжимаемость и условие пластичности выбранной модели среды.

Решение задачи строится в области пластического течения, ограниченной радиусами $r = V_0 t$ и $r = ct$ и примыкающей к области невозмущенной среды. Область упругого деформирования не рассматривается, так как предполагается, что величина c больше значения скорости распространения упругой волны.

Построим решение одномерной задачи о расширении сферической полости в пластической области. Система дифференциальных уравнений в частных производных (7.1) относительно v и θ запишется следующим образом:

$$\rho \left(\frac{\partial v}{\partial r} + 2 \frac{v}{r} \right) = - \left(\frac{\partial \rho}{\partial t} + v \frac{\partial \rho}{\partial r} \right)$$

$$\frac{\partial f_1(\theta)}{\partial r} + 2 \frac{f_2(\theta)}{r} = - \rho \left(\frac{\partial v}{\partial t} + v \frac{\partial v}{\partial r} \right)$$

На границе расширяющейся из точки ($R_0|_{t=0} = 0$) полости радиуса $R_0 = V_0 t$ задается скорость V_0 , внешняя поверхность сферического слоя R_∞ свободна от напряжений:

$$v|_{r=R_0} = V_0, \quad \sigma|_{r=R_\infty} = 0, \quad (7.2)$$

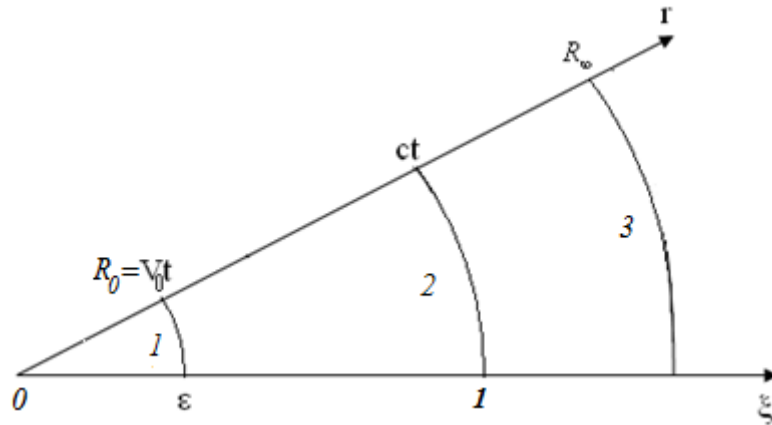


Рис. 7.1. Постановка задачи о расширении сферической полости в сжимаемой упруго-пластической среде: 1 - полость, 2 - область пластического деформирования, 3 - невозмущенная область

Подстановка безразмерных переменных $U = \frac{v}{c}$, $\xi = \frac{r}{ct}$ в систему уравнений (7.1) приводит к системе обыкновенных дифференциальных уравнений относительно неизвестных U и θ .

$$U' + 2 \frac{U}{\xi} = \frac{(\xi - U)}{1 - \theta} \theta' \quad (7.3)$$

$$\frac{\partial f_1 / \partial \theta}{\rho_0 c^2} \theta' + 2 \frac{f_2(\theta)}{\rho_0 c^2 \xi} = \frac{(\xi - U)}{1 - \theta} U'$$

штрихом обозначено дифференцирование по ξ .

При изменении ξ от 1 до ϵ , то есть, от границы пластической волны до границы полости (рис. 7.1) неизвестная скорость c определяется условием:

$$U|_{\xi=\epsilon} = \epsilon, \quad \epsilon = \frac{V_0}{c} \quad (7.4)$$

Рассмотрим условия Гюгонио на ударной волне для системы (5.1)

$$\begin{aligned} [\rho]c - [\rho v] &= 0 \\ [\rho v]c - [\rho v^2 + \sigma] &= 0 \end{aligned}$$

Обозначим величины слева и справа от разрыва как ρ_{yB}, v, σ и ρ_0, v_0, σ_0 соответственно, также положим $v_0 = \sigma_0 = 0$, тогда будем иметь

$$\begin{aligned} (\rho_{yB} - \rho_0)c = \rho v & \quad 1 - \frac{\rho_0}{\rho_{yB}} \equiv \theta_{yB} = \frac{v}{c} \\ \rho_{yB}vc = \rho_{yB}v^2 + \sigma & \quad \text{или} \quad \frac{v}{c} - \left(\frac{v}{c}\right)^2 = \frac{\sigma}{\rho_{yB}c^2} \end{aligned}$$

Выбрав в качестве безразмерных переменных $U = \frac{v}{c}$ и $S = \frac{\sigma}{\rho_{yB}c^2}$, будем иметь следующее условие на ударной волне

$$\theta_{yB} = U, \quad U - U^2 = S$$

Учитывая, что при высоких скоростях расширения полости и высоких давлениях изменение θ мало, далее рассматривается система (5.3) в предположении несжимаемости среды, то есть, при выполнении равенства

$$\frac{\partial \theta}{\partial \xi} = 0 \quad \text{или} \quad \theta = const$$

Положим значение объемной деформации $\theta \equiv \theta_{yB}$ и $\rho \equiv \rho_{yB} = \frac{\rho_0}{1 - \theta_{yB}}$.

Сохранение значением плотности его значения на ударной волне ρ_{yB} равносильно предположению о несжимаемости за фронтом ударной волны.

Система уравнений относительно нормированных таким образом скорости U и напряжения S будет иметь вид:

$$U' + 2 \frac{U}{\xi} = 0 \tag{7.5}$$

$$S' + 2 \frac{\tilde{f}_2}{\xi} = (\xi - U)U',$$

где $\tilde{f}_2 = \frac{f_2}{\rho_{yB}c^2}$ – безразмерная функция в условии пластичности, $\rho_{yB} = \frac{\rho_0}{1 - \theta_{yB}}$ – плотность на ударной волне.

Значения θ_{yB} определяются для каждой скорости расширения полости. На рис. 7.2 приведены соответствующие двум различным скоростям расширения полости значения θ_{yB} , определяемые пересечением кривых ударного перехода с графиком функции безразмерного напряжения от объемной деформации.

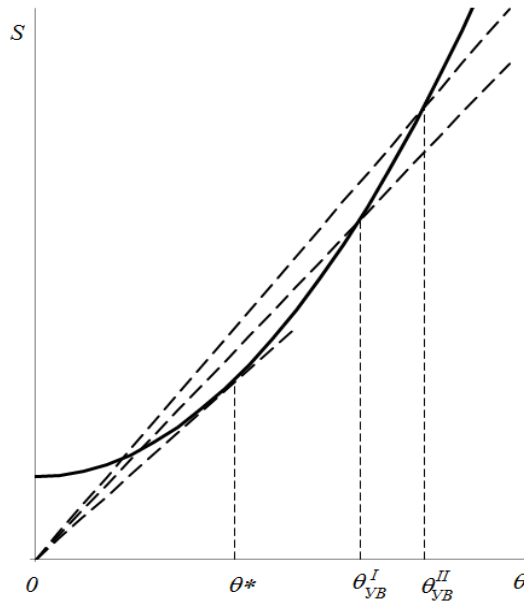


Рис. 7.2. Безразмерные напряжения в пластической области и кривые ударного перехода в зависимости от объемной деформации

Окончательное решение системы обыкновенных дифференциальных уравнений (7.5) замыкается конкретизацией вида функций f_1 и f_2 . Динамическая сжимаемость среды характеризуется ударной адиабатой в виде линейного соотношения:

$$c = A + \lambda v, \quad (7.6)$$

связывающего скорость ударной волны c и скорость за фронтом волны v . Здесь A соответствует скорости продольной волны при отсутствии возмущений, параметр λ характеризует предельную сжимаемость. Следовательно, напряжение σ и объемная деформация θ связаны следующим соотношением:

$$f_1(\theta) \equiv \frac{\rho_0 A^2 \theta}{(1 - \lambda \theta)^2} \quad (7.7)$$

Функция в условии пластичности среды имеет вид:

$$f_2(\theta) = \begin{cases} \tau_0 + \mu \sigma, & 0 < \sigma \leq \sigma_m, \\ \tau_m, & \sigma > \sigma_m \end{cases} \quad (7.8)$$

где $\mu = k / (1 + 2k/3)$ – коэффициент внутреннего трения.

Учитывая условия на ударной волне, краевые условия (7.2) переписутся в следующем виде:

$$U|_{\xi=1} = \frac{c-A}{\lambda c}, \quad S|_{\xi=1} = U - U^2, \quad U|_{\xi=\varepsilon} = \varepsilon \quad (7.9)$$

Таким образом, с учетом выражений (7.7), (7.8) краевая задача запишется в виде:

$$U' + 2 \frac{U}{\xi} = 0 \quad (7.10)$$

$$S' + 2 \frac{T + \mu S}{\xi} = (\xi - U)U' \quad \text{или} \quad S' + 2 \frac{T + \mu S}{\xi} = -(\xi - U)2 \frac{U}{\xi}$$

$$U|_{\xi=1} = \frac{c-A}{\lambda c}, \quad S|_{\xi=1} = U - U^2, \quad U|_{\xi=\varepsilon} = \varepsilon$$

где $T = \frac{\tau_0}{\rho_{yB} c^2}$.

С учетом определяющих условий (7.7) и (7.8) система обыкновенных дифференциальных уравнений (7.5) разделяется на два независимых уравнения.

Решая первое уравнение системы с разделяющимися переменными, получим:

$$\frac{dU}{d\xi} + 2\frac{U}{\xi} = 0, \quad \frac{dU}{U} = \frac{d\xi}{\xi^{-2}} \rightarrow U = \frac{c_1}{\xi^2}$$

Постоянная c_1 определяется из краевого условия (7.9) $U|_{\xi=\varepsilon} = \varepsilon$: $c_1 = \varepsilon^3$ и решение первого уравнения системы (7.10) имеет вид:

$$U = \frac{\varepsilon^3}{\xi^2}.$$

В результате подстановки полученного решения во второе уравнение системы (7.10) и интегрирования, получаем решение второго уравнения задачи (7.10):

$$S = -\frac{T}{\mu} + \frac{c_1^2}{(\mu-2)\xi^4} - 2\frac{c_1}{(2\mu-1)\xi} + c_2\xi^{-2\mu}$$

С учетом граничных условий (7.9) $U|_{\xi=1} = \frac{c-A}{\lambda c}$, $S|_{\xi=1} = U - U^2$, решение принимает вид:

$$S = -\frac{T}{\mu} + \frac{\varepsilon^6}{(\mu-2)\xi^4} - 2\frac{\varepsilon^3}{(2\mu-1)\xi} + \left(\frac{T}{\mu} - \frac{\varepsilon^6}{(\mu-2)} + 2\frac{\varepsilon^3}{(2\mu-1)} + \varepsilon^3 - \varepsilon^6 \right) \xi^{-2\mu} \quad (7.11)$$

Безразмерное напряжение на границе полости ($\xi=\varepsilon$) в зависимости от значений коэффициента внутреннего трения определяется следующим образом:

$$U = \varepsilon$$

$$S = -\frac{T}{\mu} + \frac{\varepsilon^2}{(\mu-2)} - 2\frac{\varepsilon^2}{(2\mu-1)} + \left(\frac{T}{\mu} - \frac{\varepsilon^6}{(\mu-2)} + 2\frac{\varepsilon^3}{(2\mu-1)} + \varepsilon^3 - \varepsilon^6 \right) \varepsilon^{-2\mu},$$

В размерном виде напряжение имеет вид:

$$\sigma = \frac{\tau_0}{\mu} (1 - \varepsilon^{-2\mu}) + \rho_{yB} V_0^2 \left(\frac{3}{(\mu-2)(2\mu-1)} + \frac{2\mu+1}{2\mu-1} \cdot \varepsilon^{1-2\mu} - \frac{\mu-1}{\mu-2} \cdot \varepsilon^{4-2\mu} \right), \quad (7.12)$$

Формулы (7.11), (7.12) не определены при $\mu=0$ и $0,5$. Рассмотрим их отдельно.

При $\mu=0$ краевая задача (7.10) запишется следующим образом:

$$U' + 2\frac{U}{\xi} = 0 \quad (7.10a)$$

$$S' + 2\frac{T}{\xi} = (\xi - U)U'$$

$$U|_{\xi=1} = \frac{c-A}{\lambda c}, \quad S|_{\xi=1} = U - U^2, \quad U|_{\xi=\varepsilon} = \varepsilon$$

Решение поставленной задачи (7.10a) получаем аналогично предыдущему случаю:

$$S = -2T \ln \xi - \frac{\varepsilon^6}{2} \left(1 + \frac{1}{\xi^4}\right) - \varepsilon^3 \left(1 - \frac{2}{\xi}\right)$$

На границе полости ($\xi=\varepsilon$) напряжение принимает вид:

$$S = -2T \ln \varepsilon - \frac{\varepsilon^6}{2} - \varepsilon^3 + \frac{3}{2}\varepsilon^2$$

В размерном виде записывается следующим образом:

$$\sigma = -2\tau_0 \ln \varepsilon + \rho_{yB} V_0^2 \left(3/2 - \varepsilon - \varepsilon^4/2\right)$$

При $\mu=0,5$ краевая задача (7.10) принимает вид:

$$U' + 2\frac{U}{\xi} = 0 \quad (7.10b)$$

$$S' + 2\frac{T + 0,5S}{\xi} = (\xi - U)U'$$

$$U|_{\xi=1} = \frac{c-A}{\lambda c}, \quad S|_{\xi=1} = U - U^2, \quad U|_{\xi=\varepsilon} = \varepsilon$$

Аналогично определяются напряжения:

$$S = -2T \left(1 - \frac{1}{\varepsilon}\right) - \frac{\varepsilon^6}{3} \left(\frac{1}{\xi} + \frac{2}{\xi^4}\right) - \varepsilon^3 \left(2\frac{\ln \xi}{\xi} - \frac{1}{\xi}\right)$$

$$S|_{\xi=\varepsilon} = -2T \left(1 - \frac{1}{\varepsilon}\right) - \frac{\varepsilon^5}{3} + \varepsilon^2 \left(2\ln \varepsilon + \frac{1}{3}\right)$$

$$\sigma = -2\tau_0 \left(1 - \varepsilon^{-1}\right) + \rho_{yB} V_0^2 \left(1/3 - 2\ln \varepsilon - \varepsilon^3/3\right)$$

Покажем, что решение можно получить предельным переходом в (7.11) и (7.12) при стремлении μ к 0 и 0,5 соответственно:

$$\begin{aligned}
S|_{\mu=0} &= \lim_{\mu \rightarrow 0} \left\{ -\frac{T}{\mu} + \frac{\varepsilon^6}{(\mu-2)\xi^4} - 2\frac{\varepsilon^3}{(2\mu-1)\xi} + \left(\frac{T}{\mu} - \frac{\varepsilon^6}{(\mu-2)} + 2\frac{\varepsilon^3}{(2\mu-1)} + \varepsilon^3 - \varepsilon^6 \right) \xi^{-2\mu} \right\} = \\
&= \lim_{\mu \rightarrow 0} \frac{T(\xi^{-2\mu} - 1)}{\mu} - \frac{\varepsilon^6}{2\xi^4} + 2\frac{\varepsilon^3}{\xi} - \frac{\varepsilon^6}{2} - \varepsilon^3 = \\
&= \lim_{\mu \rightarrow 0} \frac{-2T\xi^{-2\mu} \ln \xi}{1} - \frac{\varepsilon^6}{2\xi^4} + 2\frac{\varepsilon^3}{\xi} - \frac{\varepsilon^6}{2} - \varepsilon^3 = \\
&= -2T \ln \xi - \frac{\varepsilon^6}{2\xi^4} + 2\frac{\varepsilon^3}{\xi} - \frac{\varepsilon^6}{2} - \varepsilon^3 \\
S|_{\mu=0,5} &= \lim_{\mu \rightarrow 0,5} \left\{ -\frac{T}{\mu} + \frac{\varepsilon^6}{(\mu-2)\xi^4} - 2\frac{\varepsilon^3}{(2\mu-1)\xi} + \left(\frac{T}{\mu} - \frac{\varepsilon^6}{(\mu-2)} + 2\frac{\varepsilon^3}{(2\mu-1)} + \varepsilon^3 - \varepsilon^6 \right) \xi^{-2\mu} \right\} = \\
&= \lim_{\mu \rightarrow 0,5} \frac{2\varepsilon^3(1 - \varepsilon^3 \xi^{-2\mu+1})}{(2\mu-1)\xi} - 2T \left(1 - \frac{1}{\xi} \right) - \frac{2\varepsilon^6}{3\xi^4} - \frac{\varepsilon^6}{3\xi} + \varepsilon^3 = \\
&= \lim_{\mu \rightarrow 0,5} \frac{-4\varepsilon^6 \xi^{-2\mu+1} \ln \xi}{2\xi} - 2T \left(1 - \frac{1}{\xi} \right) - \frac{\varepsilon^6}{3} \left(\frac{2}{\xi^4} + \frac{1}{\xi} \right) + \frac{\varepsilon^3}{\xi} = \\
&= -2T \left(1 - \frac{1}{\xi} \right) - \frac{\varepsilon^6}{3} \left(\frac{1}{\xi} + \frac{2}{\xi^4} \right) - \varepsilon^3 \left(\frac{2 \ln \xi}{\xi} - \frac{1}{\xi} \right)
\end{aligned}$$

Формула (7.10) для напряжения на границе полости при условии пластичности (7.8) справедлива при значениях напряжений $\sigma < \sigma_m$. При больших значениях напряжений в (7.10) необходимо положить $\mu=0$ и $\tau_0 = \tau_m$.

Для определения неизвестной величины ε с учетом краевого условия (7.9) получается кубическое уравнение:

$$\varepsilon^3 + \frac{\varepsilon}{\lambda M} - \frac{1}{\lambda} = 0, \quad (7.13)$$

где обозначено $M = \frac{V_0}{A}$, A и λ - параметры ударной адиабаты (7.6). Уравнение (7.13) определяется только сжимаемостью среды и не зависит от выбранной модели пластичности.

Действительное решение (7.13) по формуле Кардано имеет вид:

$$\varepsilon = \sqrt[3]{\frac{1}{2\lambda} + \sqrt{\frac{1}{4\lambda^2} + \frac{1}{27\lambda^3 M^3}}} + \sqrt[3]{\frac{1}{2\lambda} - \sqrt{\frac{1}{4\lambda^2} + \frac{1}{27\lambda^3 M^3}}} \quad (7.14)$$

Рассмотрим так же линейное приближение к c , которое следует из (7.13) с применением разложения в ряд Тейлора

$$\varepsilon = \frac{1}{\lambda^{1/3}} \left(1 + \left(-\frac{\varepsilon}{M} \right) \right)^{1/3} \approx \frac{1}{\lambda^{1/3}} \left(1 - \frac{\varepsilon}{3M} \right).$$

С учетом $M = \frac{V_0}{A}$ и $\varepsilon = \frac{V_0}{c}$ получаем:

$$c = \lambda^{1/3} V_0 + A/3 \quad (7.15)$$

Далее приводится сравнение безразмерных напряжений, полученных в рамках задачи о расширении сферической с учетом внутреннего трения. Решение краевой задачи для системы ОДУ, полученное в п. 5 с использованием метода Рунге-Кутты, считается точным и обозначено сплошной линией.

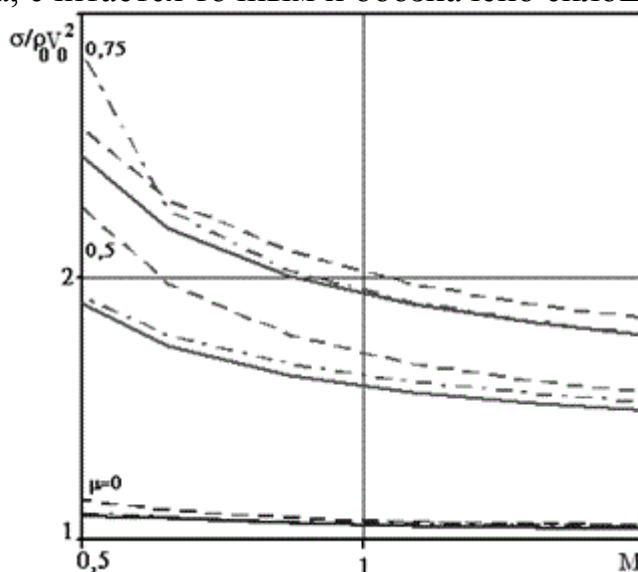


Рис. 7.3. Безразмерные напряжения на границе полости в зависимости от скорости расширения

Штриховой линией на рис. 7.3 обозначены результаты, полученные по формуле (7.14), а штрихпунктирной – приближенное решение (7.15). Сравнения проведены при различных значениях коэффициента внутреннего трения ($\mu=0; 0,5; 0,75$). Отметим, что линейная зависимость (7.15) скорости ударной волны от скорости расширения полости дает меньшую ошибку при определении нормального напряжения на границе полости, чем решение по формулам (7.14), что объясняется сложением погрешностей с разным знаком. Отличие от точных решений растет с ростом μ , при этом характер кривых сохраняется, наилучшее соответствие результатов наблюдается при значении коэффициента внутреннего трения близком к 0.

8. Примеры численной реализации

Пример 1. Рассматривается задача о расширении сферической полости из точки в безграничной среде. Среда считается сжимаемой упругопластической.

Линейная сжимаемость выражается зависимостью давления от объемной деформации θ с постоянным модулем объемного сжатия $K=320\text{МПа}$ (4.2): $p = K\theta$. Упругий модуль сдвига $G=160\text{ МПа}$. В пластической области среда подчиняется условию текучести Мизеса-Шлейхера (4.3): $\sigma - \sigma_\theta = \tau_0 + kp$, $\tau_0=0,5\text{МПа}$, $\rho_0= 2000\text{ кг/м}^3$, $k= 1$.

Рассматриваются решения задачи при двух значениях скорости расширения полости. В первом случае упругопластическое решение непрерывно, во втором происходит образование ударной волны,двигающейся с постоянной скоростью.

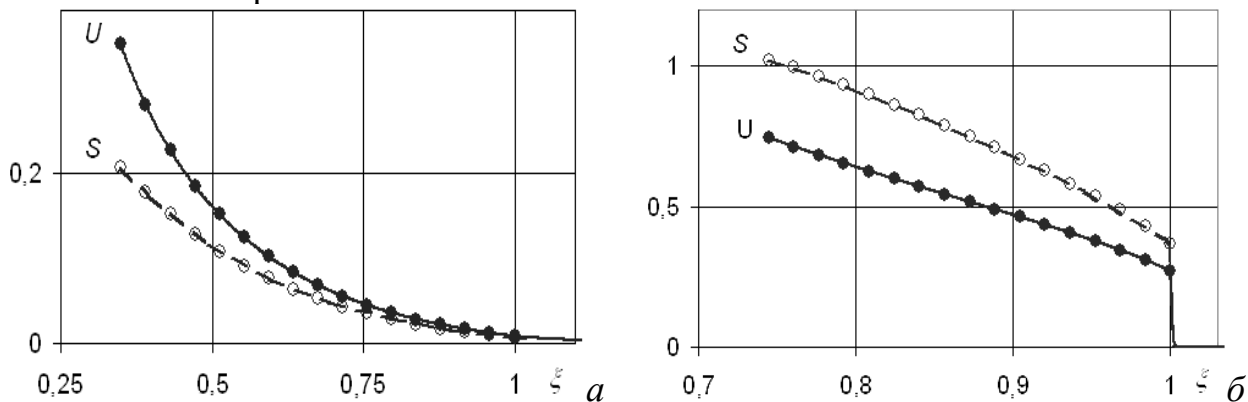


Рис. 8.1. Распределение скоростей и напряжений в зависимости от ξ .

На рис. 8.1 для скоростей расширения полости 150 м/с (а) и 450 м/с (б) приведены распределения скоростей и напряжений в интервале изменения переменной $\xi = [\varepsilon, 1]$. Сплошные и штриховые линии соответствуют численным решениям по схеме сквозного счета, маркерами показано автомодельное решение. Из рис 8.1. видно, что полученные решения хорошо согласуются друг с другом.

Пример 2 Рассматривается задача о расширении сферической полости из точки в безграничной нелинейно-сжимаемой среде. Сжимаемость среды

характеризуется ударной адиабатой (5.4) $f_1 \equiv \frac{\rho_0 A^2 \theta}{(1 - \lambda \theta)^2}$ с параметрами:

$A= 455\text{ м/с}$, $\lambda= 2,3$, $\rho_0= 1700\text{ кг/м}^3$. Сопротивление среды сдвигу определяется линейной зависимостью предела текучести от давления (5.5): $f_2(\theta) \equiv \tau_0 + \mu\sigma$, ($\mu=0,6$, $\tau_0=0,01\text{МПа}$). Параметры упругого предвестника определяются решением М. Форрестала при $V < 0,4A$. Обнаружено, что при $V \geq 0,4A$ происходит формирование единой пластической ударной волны. На рис. 8.2 представлены безразмерные распределения нормальных напряжений при начальных скоростях проникания $V_0=180\text{ м/с}$, 275 м/с и 545 м/с . Штриховой линией обозначены безразмерные нормальные напряжения.

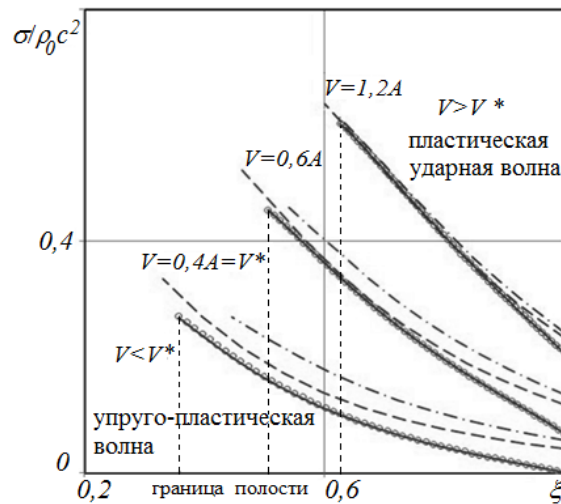


Рис. 8.2. Распределение безразмерных напряжений в зависимости от ξ

Сплошными линиями показаны величины напряжений, полученные в рамках двумерных численных расчетов, маркерами – результаты решения одномерной задачи о расширении сферической полости, которые хорошо согласуются друг с другом. Штриховой линией обозначены распределения, полученные с учетом решения (7.14), а штрих-пунктирной – по приближенной формуле (7.15).

Как видно на графике скорость ударной волны, полученная из решения кубического уравнения (7.14) дает более близкие результаты, чем решение, полученное по приближенной формуле (7.15). Однако, в окрестности полости амплитудные значения напряжений с учетом решения (7.15) (штрих-пунктирная линия на рис. 8.2) оказываются ближе к точному.

Пример 3 Рассматривается задача о расширении сферической полости. Сжимаемость грунтовой среды естественного состава характеризуется ударной адиабатой (6.3): $c = A + \lambda v$, $A = 455$ м/с, $\lambda = 2,3$, $\rho_0 = 1700$ кг/м³. Сопротивление среды сдвигу определяется дробно-рациональной зависимостью предела текучести от давления (6.4):

$$f_2(\theta) = \tau_0 + \frac{kp}{1 + kp/(\tau_m - \tau_0)}, \quad (k=1,14, \tau_0=0,01\text{МПа},$$

$\tau_m=275,3\text{МПа}$). Учитывается упругий предвестник, решение для которого получено Форрестолом (для данных параметров среды $V < 0,5A$) и для случая формирования единой пластической ударной волны ($V \geq 0,5A$). На рис. 8.3 представлены безразмерные распределения нормальных напряжений при начальных скоростях проникания $V_0 = 90$ м/с, 227,5 м/с и 318,5 м/с.

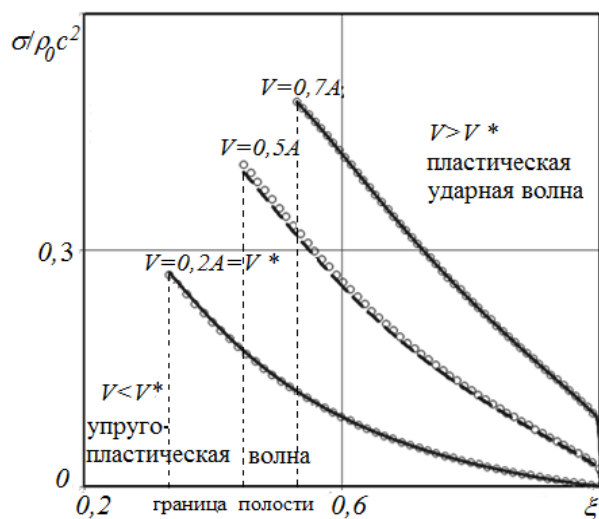


Рис. 8.3. Распределение безразмерных напряжений в зависимости от ξ

Как и ранее сплошным линиям соответствуют величины, полученные в рамках двумерных численных расчетов, маркерам – результаты одномерной задачи о расширении сферической полости, которые хорошо согласуются друг с другом.

Пример 4. Рассматривается задача о расширении сферической полости. Сжимаемость среды характеризуется ударной адиабатой (5.2): $c = A + \lambda v$, $A = 460$ м/с, $\lambda = 2,3$, $\rho_0 = 1700$ кг/м³. Сопротивление среды сдвигу определяется линейной зависимостью предела текучести от давления (5.5): $f_2(\theta) \equiv \tau_0 + \mu\sigma$.

На рис. 8.4, а изображены относительные погрешности определения скорости пластической ударной волны при различных значениях коэффициента внутреннего трения $\delta_c = (c - c_{1,2})/c \cdot 100\%$, где c – точное решение, а c_1 и c_2 определены по формулам (7.14), (7.15) и показаны штриховой и штрихпунктирной линиями соответственно при различных значениях коэффициента внутреннего трения.

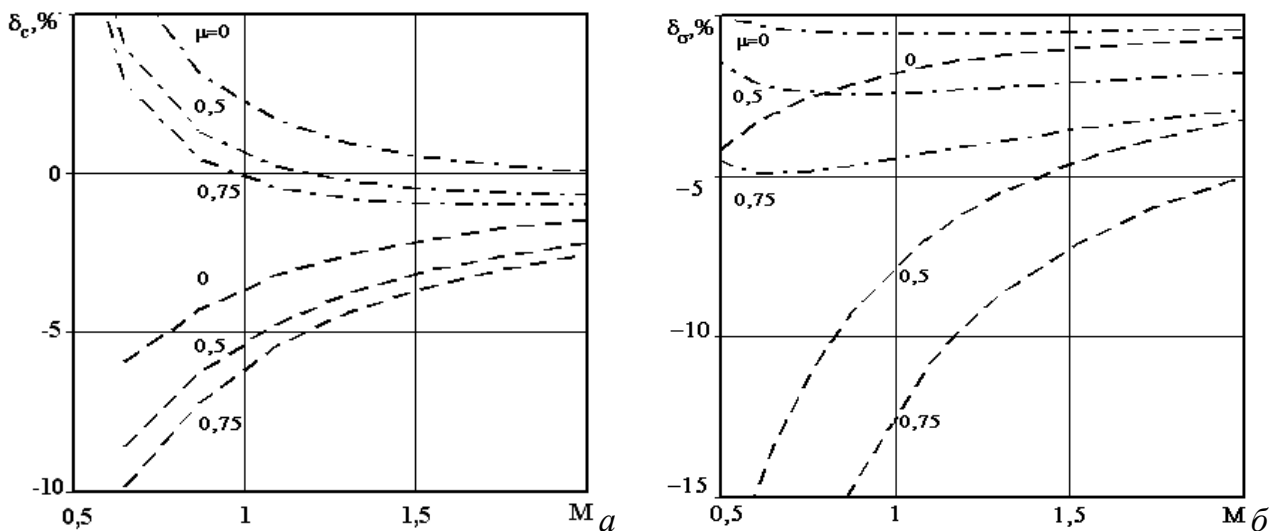


Рис. 8.4. Погрешность определения скорости фронта ударной волны и нормального напряжения при значениях $\mu=0, 0,5$ и $0,75$

Относительные погрешности для нормального напряжения на границе полости, приведенные на рис. 8.4, б, определены аналогично. Как и ранее штриховой линией обозначены результаты, полученные с учетом формулы (7.14), а штрихпунктирной линией – формулы (7.15). Относительные погрешности для приближенных линейных формул существенно меньше, чем с использованием формулы Кардано. Отмечается уменьшение погрешностей с ростом скорости расширения полости

Таким образом, напряжения на границе сферической полости, расширяющейся из точки с постоянной скоростью в грунтовой среде с известной ударной адиабатой, определяются формулами (7.14), (7.15) с погрешностью менее 5% при относительных скоростях расширения полости $V_0/A > 0,5$ и изменении коэффициента внутреннего трения во всем допустимом диапазоне $[0; 0,75]$.

Погрешности определения скорости пластической ударной волны и нормального напряжения так же можно продолжить на весь диапазон изменения M . На рис. 8.5 приведены графики погрешностей при различных значениях коэффициента внутреннего трения с использованием линейного приближения для определения скорости (7.15).

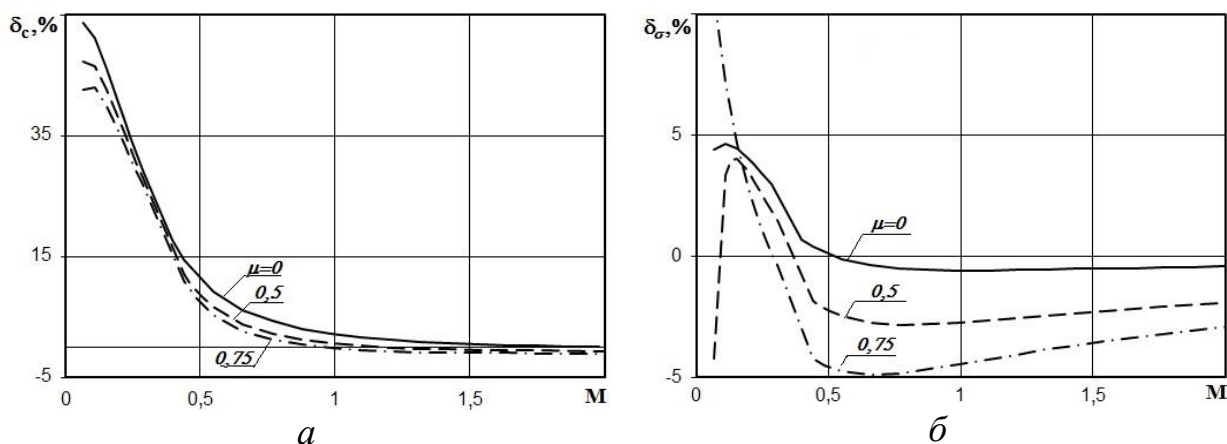


Рис. 8.5. Погрешность определения скорости фронта ударной волны и нормального напряжения

Видно, что при относительной скорости расширения полости $M < 0,5$ погрешность для скорости ударной волны возрастает до 50%. Для нормальных напряжений погрешности не превосходят 5% во всем диапазоне изменения скоростей и лишь при больших значениях коэффициента внутреннего трения ($\mu = 0,75$) может значительно возрасти. Полученные оценки показывают, что в дальнейшем при решении задачи проникания можно использовать приближенную формулу для определения скорости ударной волны.

Пример 5. Рассматривается задача о расширении сферической полости. Сжимаемость среды характеризуется ударной адиабатой (5.2), (5.4): $c = A + \lambda v$,

$f_1 \equiv \frac{\rho_0 A^2 \theta}{(1 - \lambda \theta)^2}$. Сопротивление среды сдвигу определяется линейной зависимостью предела текучести от давления (5.5): $f_2(\theta) \equiv \tau_0 + \mu \sigma$. Расчеты производились при следующих значениях параметров: $A = 460$ м/с, $\tau_0 = 0,01$, $\rho_0 = 2000$ кг/м³.

На рис. 8.6, *а* и *б* изображены относительные погрешности нормального напряжения на границе полости для значений параметра $\mu = 0$ и $\mu = 0,6$ соответственно при различных значениях коэффициента сжимаемости грунта λ в зависимости от относительной скорости расширения полости V_0 / A . Погрешность ищем следующим образом: $\delta_\sigma = (\sigma - \sigma_1) / \sigma \cdot 100\%$, где σ – точное решение, а σ_1 определено по формуле (7.12).

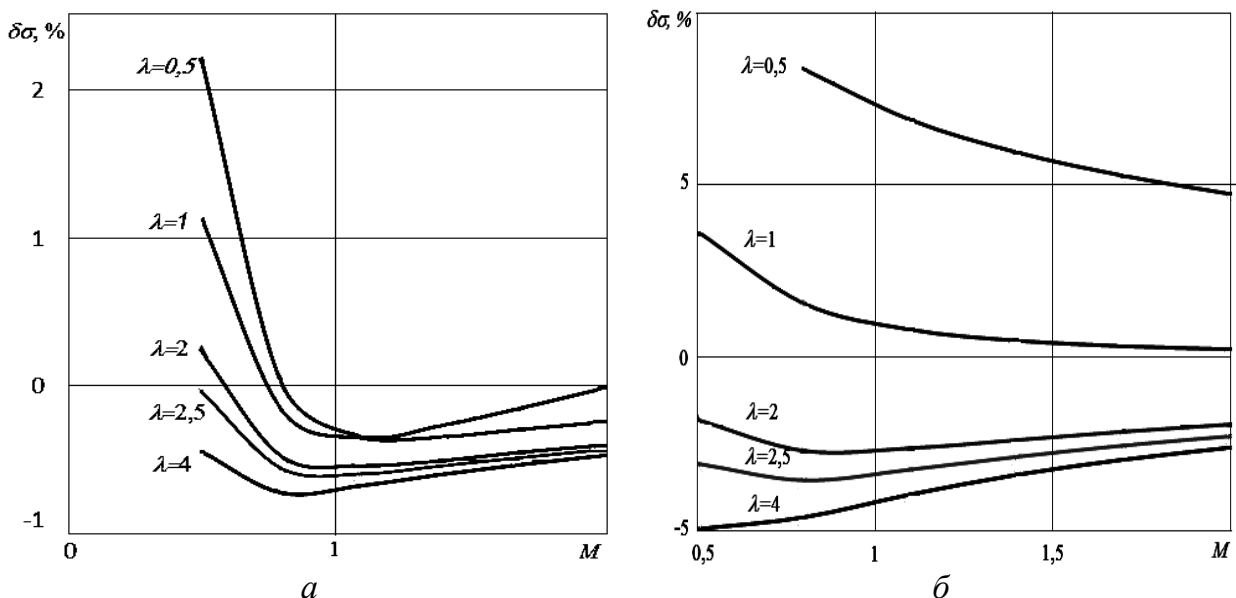


Рис. 8.6. Относительные погрешности для нормального напряжения на границе полости при коэффициенте внутреннего трения $\mu = 0$, $\mu = 0,6$

Видно, что погрешности в определении напряжения на границе сферической полости, расширяющейся с постоянной скоростью в грунтовой среде с известной ударной адиабатой с использованием формулы (7.12) не превышают 5% при относительных скоростях расширения полости $V_0 / A > 0,5$ и изменении параметра предельной сжимаемости в достаточно широком диапазоне $[0,5; 4]$ при допустимых значениях коэффициента внутреннего трения.

Полученные оценки показывают, что приближенную формулу можно использовать в дальнейшем для определения напряжения на границе полости при решении задач проникания.

Метод стрельбы

Рассматривается [5] задача Коши вида:

$$\begin{cases} y'' = f(x, y, y'), & 0 \leq x \leq 1, \\ y(0) = Y_0, & y(1) = Y_1, \end{cases} \quad (\text{П-1.1})$$

с граничными условиями на обоих концах отрезка $0 \leq x \leq 1$, на котором надо найти решение $y=y(x)$.

Решение задачи (П-1.1) сводится к решению задачи (П-1.2), записанной в виде, удобном для численного решения:

$$\begin{cases} y'' = f(x, y, y'), & 0 \leq x \leq 1, \\ y(0) = Y_0, & \left. \frac{dy}{dx} \right|_{x=0} = \operatorname{tg} \alpha, \end{cases} \quad (\text{П-1.2})$$

где Y_0 – ордината точки $(0, Y_0)$, из которой выходит интегральная кривая, α – угол наклона интегральной кривой к оси Ox .

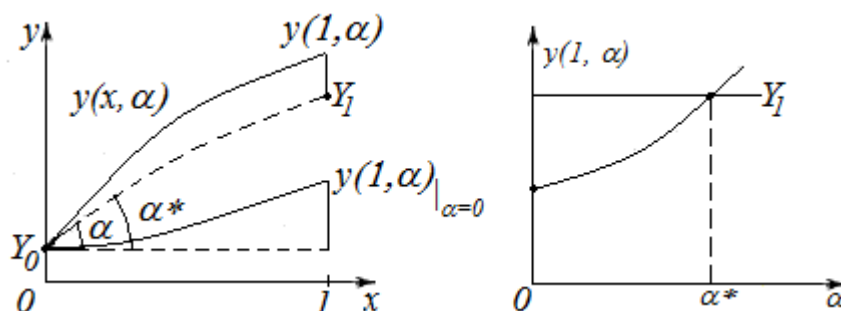


Рис. П-1. Графическое представление задачи Коши

При фиксированном Y_0 решение задачи (П-1.2) имеет вид $y=y(x, \alpha)$. При $x=1$ решение $y(x, \alpha)$ зависит только от α :

$$y(x, \alpha) \Big|_{x=1} = y(1, \alpha).$$

Таким образом, задача Коши (П-1.1) заключается в следующем: найти такой угол $\alpha=\alpha^*$, при котором интегральная кривая, выходящая из точки $(0, Y_0)$ под углом α к оси абсцисс, попадает в точку $(1, Y_1)$:

$$y(1, \alpha) = Y_1 \quad (\text{П-1.3})$$

Следовательно, решение задачи Коши (П-1.1) сводится к решению уравнения (П-1.3) типа $F(\alpha)=0$, где $F(\alpha) = y(1, \alpha) - Y_1$. Применяя к уравнению (П-1.3) метод половинного деления, рекуррентная формула для искомого угла α запишется следующим образом:

$$\alpha_{n+1} = \alpha_n - \frac{F(\alpha_n)}{F(\alpha_n) - F(\alpha_{n-1})} (\alpha_n - \alpha_{n-1}), n = 1, 2, \dots$$

Процесс выполняется до тех пор, пока не будет достигнута заданная точность $\varepsilon: |y(1, \alpha_n) - Y_1| < \varepsilon$.

Приложение 2

Метод Рунге-Кутты четвертого порядка точности

Рассматривается задачи Коши для системы обыкновенных дифференциальных уравнений первого порядка [13].

Пусть дана следующая система

$$\begin{aligned} \frac{dy_1}{dx} &= f_1(x, y_1, y_2, \dots, y_n), \\ \frac{dy_2}{dx} &= f_2(x, y_1, y_2, \dots, y_n), \\ &\dots\dots\dots \\ \frac{dy_n}{dx} &= f_n(x, y_1, y_2, \dots, y_n). \end{aligned} \tag{П-2.1}$$

Надо найти $y_1 = y_1(x)$, $y_2 = y_2(x)$, ..., $y_n = y_n(x)$, причем

$$y_1(x_0) = y_0, \quad y_2(x_0) = y_{20}, \quad \dots, \quad y_n(x_0) = y_{n0}. \tag{П-2.2}$$

Первоначально рассматривается простейший случай:

$$y' = f(x, y), \quad y(x_0) = y_0. \tag{П-2.3}$$

При численном решении задача (П-2.1, П-2.2) или (П-2.3) сводится к поиску в точках x_0, x_1, \dots, x_n приближенных значений y_κ , $\kappa = \overline{0, n}$. Точки x_κ , $\kappa = \overline{0, n}$ задают сетку, у которой $\Delta x_\kappa = x_\kappa - x_{\kappa-1}$ - шаг сетки. Если шаг сетки постоянный и обозначить его $\Delta x_\kappa = h$, то

$$x_\kappa = x_0 + \kappa h, \quad \kappa = \overline{0, n}.$$

Наиболее известным и широко используемым методом Рунге-Кутты является метод, который представляется следующей формулой

$$\begin{aligned} y_{\kappa+1} &= y_\kappa + h \ell_\kappa, & \ell_\kappa &= \frac{1}{6} (\ell_\kappa^{(1)} + 2\ell_\kappa^{(2)} + 2\ell_\kappa^{(3)} + \ell_\kappa^{(4)}), \\ \ell_\kappa^{(1)} &= f(x_\kappa, y_\kappa), & \ell_\kappa^{(2)} &= f\left(x_\kappa + \frac{h}{2}, y_\kappa + \frac{h}{2} \ell_\kappa^{(1)}\right), \\ \ell_\kappa^{(3)} &= f\left(x_\kappa + \frac{h}{2}, y_\kappa + \frac{h}{2} \ell_\kappa^{(2)}\right), & \ell_\kappa^{(4)} &= f(x_\kappa + h, y_\kappa + h \ell_\kappa^{(3)}). \end{aligned}$$

Метод, в соотношении с задачами о вычислении интеграла

$$y(x) = \int_{x_0}^x f(x) dx, \quad x_0 \leq x \leq X,$$

порожден формулой Симпсона

$$y_{\kappa+1} = y_{\kappa} + \frac{h}{6} (f(x_{\kappa}) + 4f(x_{\kappa} + 1/2) + f(x_{\kappa+1})).$$

Этот метод, как и формула Симпсона, имеет четвертый порядок точности.

Рассмотренные методы решения задачи Коши для обыкновенных дифференциальных уравнений первого порядка можно применять и к решению задач Коши для систем. Форма записи претерпевает минимальные изменения:

- числа y_{κ} заменяем на векторы $\vec{y}_{\kappa} = (y_{1\kappa}, y_{2\kappa}, \dots, y_{n\kappa})^T$;
- функции f заменяем на вектор-функции \vec{f} и т.д.

В векторной форме задача Коши записывается следующим образом:

$$\frac{d\vec{y}}{dx} = \vec{f}(x, \vec{y}), \quad \vec{y}(x_0) = \vec{y}_0.$$

В случае дифференциального уравнения n -ого порядка

$$y^{(n)} = F(x, y, y', y^{(2)}, \dots, y^{(n-1)}),$$

задача сводится к решению системы:

$$\frac{dy}{dx} = y_1,$$

$$\frac{dy_1}{dx} = y_2,$$

.....

$$\frac{dy_{n-2}}{dx} = y_{n-1},$$

$$\frac{dy_{n-1}}{dx} = F(x, y, y_1, \dots, y_{n-1}).$$

Основные формулы выглядят следующим образом

$$\vec{y}_{\kappa+1} = \vec{y}_{\kappa} + h\vec{\ell}_{\kappa},$$

$$\vec{\ell}_{\kappa} = \frac{1}{6} (\vec{\ell}_{\kappa}^{(1)} + 2\vec{\ell}_{\kappa}^{(2)} + 2\vec{\ell}_{\kappa}^{(3)} + \vec{\ell}_{\kappa}^{(4)}),$$

$$\vec{\ell}_{\kappa}^{(1)} = \vec{f}(x_{\kappa}, \vec{y}_{\kappa}),$$

$$\vec{\ell}_{\kappa}^{(2)} = \vec{f}(x_{\kappa+1/2}, \vec{y}_{\kappa} + \frac{h}{2}\vec{\ell}_{\kappa}^{(1)}),$$

$$\vec{\ell}_{\kappa}^{(3)} = \vec{f}(x_{\kappa+1/2}, \vec{y}_{\kappa} + \frac{h}{2}\vec{\ell}_{\kappa}^{(2)}),$$

$$\vec{\ell}_{\kappa}^{(4)} = \vec{f}(x_{\kappa+1}, \vec{y}_{\kappa} + h\vec{\ell}_{\kappa}^{(3)}).$$

Для случая системы двух уравнений первого порядка метод Рунге-Кутты определяется следующими выражениями:

$$\begin{aligned}\frac{dy}{dx} &= f(x, y, z), & y(x_0) &= y_0, \\ \frac{dz}{dx} &= g(x, y, z) & z(x_0) &= z_0\end{aligned}$$

$$l^{(1)} = f(x_k, y_k, z_k)$$

$$t^{(1)} = g(x_k, y_k, z_k)$$

$$l^{(2)} = f\left(x_{k+1/2}, y_k + \frac{h}{2}l^{(1)}, z_k + \frac{h}{2}t^{(1)}\right)$$

$$t^{(2)} = g\left(x_{k+1/2}, y_k + \frac{h}{2}l^{(1)}, z_k + \frac{h}{2}t^{(1)}\right)$$

$$l^{(3)} = f\left(x_{k+1/2}, y_k + \frac{h}{2}l^{(2)}, z_k + \frac{h}{2}t^{(2)}\right)$$

$$t^{(3)} = g\left(x_{k+1/2}, y_k + \frac{h}{2}l^{(2)}, z_k + \frac{h}{2}t^{(2)}\right)$$

$$l^{(4)} = f(x_{k+1}, y_k + hl^{(3)}, z_k + ht^{(3)})$$

$$t^{(4)} = g(x_{k+1}, y_k + hl^{(3)}, z_k + ht^{(3)})$$

$$y_{k+1} = y_k + \frac{h}{6}(l^{(1)} + 2l^{(2)} + 2l^{(3)} + l^{(4)})$$

$$z_{k+1} = z_k + \frac{h}{6}(t^{(1)} + 2t^{(2)} + 2t^{(3)} + t^{(4)})$$

$$k = 0, 1, \dots, n-1$$

Литература

1. Аптуков В.Н., Мурзакаев Р.Т., Фонарев А.В. Прикладная теория проникания. – М.: Наука, 1992. – 105 с.
2. Афанасьев С.Б., Баженов В.Г., Котов В.Л. Математическое моделирование динамики сжимаемых упругопластических сред: учебно-методическое пособие. – Нижний Новгород: Нижегородский университет, 2011. – 73 с.
3. Баженов В.Г., Котов В.Л. Математическое моделирование нестационарных процессов удара и проникания осесимметричных тел и идентификация свойств грунтовых сред. М.: Физматлит, 2011. 208 с.
4. Высокоскоростное взаимодействие тел / Под ред. акад. В.М. Фомина. Новосибирск: Изд-во СО РАН. 1999. 600 с.
5. Годунов С.К., Рябенский В.С. Разностные схемы. М.: Наука, 1977, 440 с.
6. Григорян С.С. К решению задачи о подземном взрыве в мягких грунтах // Прикладная математика и механика. 1964. Т. 28. Вып. 6. С. 1070-1082.
7. Котов В.Л., Линник Е.Ю., Тарасова А.А. Определение параметров квадратичной модели локального взаимодействия при внедрении сферического ударника в мягкий грунт // Проблемы прочности и пластичности: Межвуз. сб. Вып. 75(1). Н. Новгород: Изд-во ННГУ. 2013. С. 47-55.
8. Линник Е.Ю., Котов В.Л., Тарасова А.А., Гоник Е.Г. Решение задачи о расширении сферической полости в грунтовой среде в предположении несжимаемости за фронтом ударной волны // Проблемы прочности и пластичности: Межвуз. сб. Вып. 74. Н. Новгород: Изд-во ННГУ. 2012. С. 49-57.
9. Сагомоян А.Я. Проникание. – М.: Изд-во МГУ, 1974. – 299 с.
10. Самарский А.А., Михайлов А.П. Математическое моделирование: Идеи. Методы. Примеры. 2- изд. М.: Физматлит. 2002. 320 с.
11. Forrestal M.J., Tzou D.Y., Askari E., Longcope D.B. Penetration into ductile metal targets with rigid spherical-nose rods // International Journal of Impact Engineering. 1995. V. 16. № 5/6. P. 699-710.
12. Warren T.L., Hanchak S.J., Kevin L. Penetration of limestone targets by ogive-nosed VAR 4340 steel projectiles at oblique angles: experiments and simulations // International Journal of Impact Engineering. 2004. Vol. 30. P. 1307–1331.
13. Численное решение задачи Коши для обыкновенных дифференциальных уравнений первого порядка и их систем. Учебно-методическая разработка для студентов механико-математического факультета / Сост. Л.А. Игумнов, В.Л. Котов, С.Ю. Литвинчук, Д.Т.Чекмарев. – Н. Новгород: ННГУ, 2000. – 38 с.

Василий Леонидович **Котов**
Елена Юрьевна **Линник**
Анна Алексеевна **Тарасова**

РЕШЕНИЕ ОДНОМЕРНОЙ ЗАДАЧИ О РАСШИРЕНИИ СФЕРИЧЕСКОЙ ПОЛОСТИ

Учебно-методическое пособие

Федеральное государственное автономное образовательное учреждение
высшего образования «Нижегородский государственный университет
им. Н.И. Лобачевского».
603950, Нижний Новгород, пр. Гагарина, 23.